

Цена 20 коп.



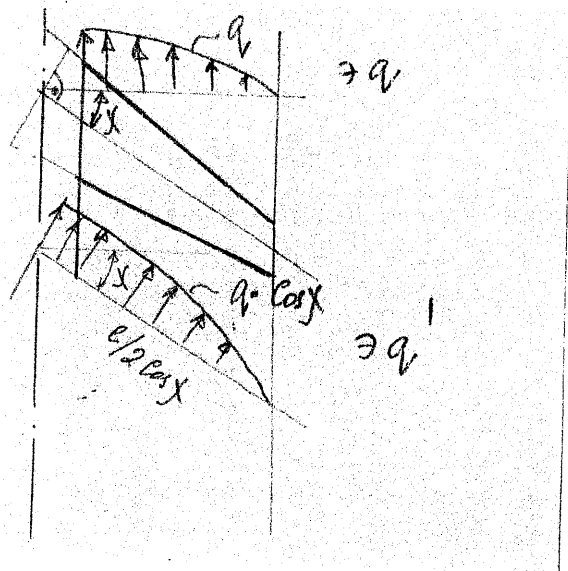
МОСКОВСКИЙ ОРДЕНА ЛЕНИНА
И ОРДЕНА ОКТЯБРЬСКОЙ РЕВОЛЮЦИИ
АВИАЦИОННЫЙ ИНСТИТУТ
ИМЕНИ СЕРГО ОРДЖОНИКИДЗЕ

КП-2

УЧЕБНОЕ ПОСОБИЕ
К КУРСОВОМУ
ПРОЕКТИРОВАНИЮ
"АГРЕГАТЫ ПЛАНЕРА"

КОЛГАНОВ А.Ф.

МОСКВА - 1987



МИНИСТЕРСТВО
 ВЫСШЕГО И СРЕДНЕГО СПЕЦИАЛЬНОГО ОБРАЗОВАНИЯ СССР

МОСКОВСКИЙ
 ОРДЕНА ЛЕНИНА И ОРДЕНА ОКТЯБРЬСКОЙ РЕВОЛЮЦИИ
 АВИАЦИОННЫЙ ИНСТИТУТ имени СЕРГЕЯ ОРДЖОНИКИДЗЕ

УЧЕБНОЕ ПОСОБИЕ
 К КУРСОВОМУ ПРОЕКТИРОВАНИЮ
 "АГРЕГАТЫ ПЛАНЕРА"

Под редакцией З.А.Мелик-Саркисяна и И.А. Шаталова

*на заслуженному
 Колгакову Виктору Федоровичу
 на добрую память*

Утверждено
 на заседании редсовета
 24 декабря 1986 г.

Мелик-Саркисян
Шаталов
 МОСКВА 1987

А 172 (075)

У-912

УДК 629.735.33.02 (071.1)

В.В.Васильев А.И.Ендогур В.А.Киселев В.В.Мальчевский Э.А.Мелик-Саркисян А.Н.Степанов И.А.Шаталов

Учебное пособие к курсовому проектированию "Агрегат планера" /
Васильев В.В., Ендогур А.И., Киселев В.А. и др. ;Под ред.
Э.А.Мелик-Саркисяна и И.А.Шаталова. - М.: МАИ, 1987. - 52 с., ил.

В пособии приведены задания на разработку конструкции различных агрегатов планера самолета, требования к графической и расчетной части курсового проекта.

Пособие предназначено для студентов специальности "Инженер-механик по самолетостроению", выполняющих курсовой проект по конструкции планера самолета.

Рецензенты: А.Н.Арепьев, В.К.Хоменко

© Московский авиационный институт, 1987г.

40 лет своей жизни посвятил Московскому авиационному институту Завен Ашотович Мелик-Саркисян.

Настоящий коммунист и патриот Родины, Э.А.Мелик-Саркисян активно способствовал решению задачи обеспечения высококвалифицированными специалистами авиационной промышленности.

Работая на кафедре "Конструкции и проектирование самолетов", Э.А.Мелик-Саркисян содействовал организации и развитию учебной базы кафедры, под его руководством и при его непосредственном участии были заложены методические основы современной учебной лаборатории. При его активном участии на кафедре проводились исследования по формированию научно обоснованного учебного плана специальности "Самолетостроение". Под его руководством выполнен ряд перспективных проектно-исследовательских работ.

Длительное время Э.А.Мелик-Саркисян читал курс "Проектирование самолетов" - один из основных курсов кафедры; под его руководством более двухсот выпускников кафедры выполнили дипломные проекты; большое число студентов с его помощью постигали науку и искусство конструирования в процессе лабораторно-практических работ и курсового проектирования.

Замечательный педагог и методист с разносторонними научными интересами, Э.А.Мелик-Саркисян уделял много внимания проектированию элементов конструкции самолета, обеспечению курсового проектирования учебно-методическими пособиями.

Оставив о себе добрую и долгую память в сердцах многих, работавших вместе с ним и учившихся у него, Завен Ашотович Мелик-Саркисян ушел из жизни, не успев завершить работу над пособием, которое вы сейчас читаете. Эту работу завершили его товарищи по работе.

Герой Социалистического труда,
Лауреат Ленинской и Государственных премий,
чл.-корр. АН СССР С.М.Егер

ПРЕДИСЛОВИЕ

Получение практических навыков разработки конструкций — одна из важнейших задач, стоящих перед студентами в процессе обучения.

Учебный план подготовки инженеров-механиков по самолетостроению предусматривает выполнение курсового проекта, основная цель которого — углубление и расширение приобретенных ранее знаний и навыков конструирования в процессе самостоятельной разработки агрегата планера самолета.

Принятые решения должны обеспечить выполнение технического задания на разработку конструкции агрегата (задания на курсовой проект).

В настоящем учебном пособии собраны и систематизированы по разделам, соответствующим основным агрегатам планера самолета, задания на разработку конструкций каркасного типа, рассчитанные на одинаковую трудоемкость проектов по каждому заданию.

Структура пособия оставляет возможность дополнить сборник заданий как внутри разделов, так и новыми разделами.

Пособие не исключает разработки специализированных проектов по индивидуальным заданиям, имеющим все необходимые исходные данные и согласованным по трудоемкости с приведенными заданиями.

Пособие написано коллективом преподавателей кафедры "Конструкции и проектирование самолетов". Предисловие, общие положения, приложения, разделы I и II написаны Э.А.Мелик-Саркисяном и И.А.Шаталовым, ими также разработан макет учебного пособия; раздел III написан В.В.Васильевым (задания на разработку конструкции вертикального оперения) и А.Н.Степановым (задания на разработку конструкции горизонтального оперения); раздел IV — А.И.Видогуром; раздел V — В.А.Киселевым; раздел VI — В.В.Мальчевским.

При подготовке пособия были использованы материалы Г.Н.Назарова и В.П.Норкина.

В оформлении пособия принимали участие инженеры Д.Б.Рябкина, С.В.Кувшинов и студент М.Н.Меренков.

ОБЩИЕ ПОЛОЖЕНИЯ

Получив номер задания на курсовой проект, ознакомьтесь с настоящим разделом пособия и указаниями, предваряющими соответствующий раздел пособия, в котором находится задание на разработку предложенного Вам агрегата.

Курсовой проект "Агрегат планера" учитывает практику реального проектирования подобных агрегатов в ОКБ, в процессе которого конструкторы, расчетчики, технологи и другие специалисты разрабатывают всю необходимую для изготовления агрегата техническую документацию (чертежи, расчеты, описания).

В работе над курсовым проектом студент практически знакомится со всеми аспектами разработки агрегата. Естественно, что в курсовом проектировании конструкция прорабатывается с меньшей степенью детализации.

Естественно, что в курсовом проектировании эти аспекты проекта прорабатываются с меньшей степенью детализации.

Техническая документация, разрабатываемая в процессе выполнения курсового проекта (чертежи и пояснительная записка), должна отвечать следующим требованиям:

I. Степень проработки конструкции агрегата на чертежах должна выявить:

- конструктивно-силовую схему (КСС) агрегата;
- конструкцию основных элементов, обеспечивающих работоспособность КСС;
- взаимную увязку основных элементов конструкции;
- стыковку разрабатываемого агрегата со смежными агрегатами;
- схему сборки агрегата из подборочных единиц, их стыковку и взаимозаменяемость.

Кроме того, чертежи должны давать схематичное представление об элементах конструкции, сопряженных с агрегатом (закрылки, элероны, рули и т.д.).

2. В пояснительной записке необходимо привести задание на проект и обосновать:

- выбор КСС и основных конструктивных решений;
- нагружение основных элементов конструкции внешними нагрузками;
- выбор основных конструкционных материалов и полуфабрикатов;
- определение размеров основных элементов конструкции проективно-расчетным расчетом прочности агрегата, расчетом прочности стыков со смежными агрегатами и стыков подборочных единиц.
- схему сборки агрегата и подборочных единиц.

Кроме того, в записке должны быть приведены спецификация на сборку агрегата из укрупненных подборочных единиц, список использованной литературы, на которую в тексте записки должны быть сделаны ссылки, и оглавление.

Более подробно требования к выполнению курсового проекта и основные методические рекомендации изложены в пособии [14].

Исходные данные, необходимые для разработки агрегата в курсовом проекте, выбираются в соответствии с вариантом и номером-шифром (см. с. 49, 50) задания:

X-I-2-a-B,

где X-I - тип агрегата и его схема (указаны в верхнем правом углу страницы); 2 - вариант числовых значений (соответствующая строка или столбец в таблицах исходных данных для каждого типа и схемы агрегата); a - предлагаемый к разработке вариант КСС агрегата; B - дополнительные сведения (например, схема расположения одного агрегата относительно другого).

В заданиях приведены основные характеристики и параметры самолета, для которого разрабатывается агрегат, что дает возможность ознакомиться с конструкцией аналогичных агрегатов на натурных экспонатах или по конструкторской документации.

Линейные размеры в заданиях, где это не оговорено особо, приведены в мм, угловые - в градусах, площади несущих поверхностей - в м². Форма профиля несущей поверхности и расположение несущей поверхности по высоте фюзеляжа, угол поперечного $V(\Psi)$ и угол заклинивания α_n представлены в приложениях I и 2.

В заданиях приведены расчетные разрушающие нагрузки на агрегаты. На эскизах нагрузок указаны относительные величины к нагрузкам, действующим на агрегат в сечении А-А.

ЗАДАНИЯ

НА РАЗРАБОТКУ КОНСТРУКЦИИ КОНСОЛИ (ОТЪЕМНОЙ ЧАСТИ) КРЫЛА *

Разработать конструкцию консоли крыла в соответствии с номером-шифром задания X-I-2-a-b, где a - вариант конструктивно-силовой схемы; b - вариант расположения консоли относительно фюзеляжа.

КСС консоли (количество и расположение стрингеров, лонжеронов, стенок, нормальных и усиленных нервюр) формировать в соответствии с геометрией консоли по предлагаемой к разработке КСС с учетом внешних нагрузок.

Построить в абсолютных величинах эпюры распределенной по размаху консоли погонной воздушной нагрузки $Q_{возд}$, перерезывающей силы Q и изгибающего момента $M_{изг}$ с учетом опирания на центроплан. Относительные эпюры Q , $M_{изг}$ построены для одного из основных расчетных случаев с учетом разгрузки крыла силой тяжести от проектной (лимитной) массы крыла.

На основании принятой КСС и эпюры Q построить эпюру крутящего момента $M_{кр}$, считая, что линия центров давления расположена на 25% текущей хорды.

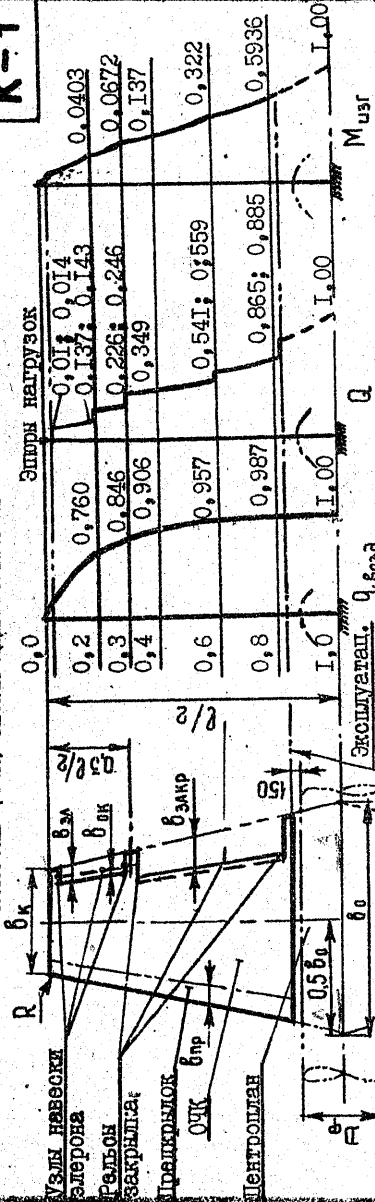
Произвести проектировочный расчет консоли на прочность в двух сечениях, рассчитать бортовую нервюру и узлы крепления консоли к центроплану.

При разработке конструкции консоли обеспечить герметичность герметизацию бака-отсека, занимающего 70% размаха консоли, и указать на чертеже схемы герметизации.

* Номенклатура исходных данных позволяет разработать конструкцию центроплана для данной отъемной части крыла.

КОНСОЛЬ (ОТК) КРЫЛА АДМИНИСТРАТИВНОГО САМОЛЕТА

K-1



Варианты конструктивно-силовых схем

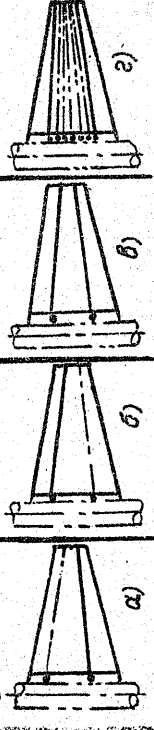
Лонжерон + передняя стенка лонжерона

Два лонжерона

Кессон (два лонжерона)

Величины нагрузок в сечении А-А

Вариант	Величины нагрузок в сечении А-А		
	Q _{безд.} , даН/м	Q, даН	Мизг, даН·м
1	1990	8000	16000
2	2437	12100	16000
3	2814	12100	55750

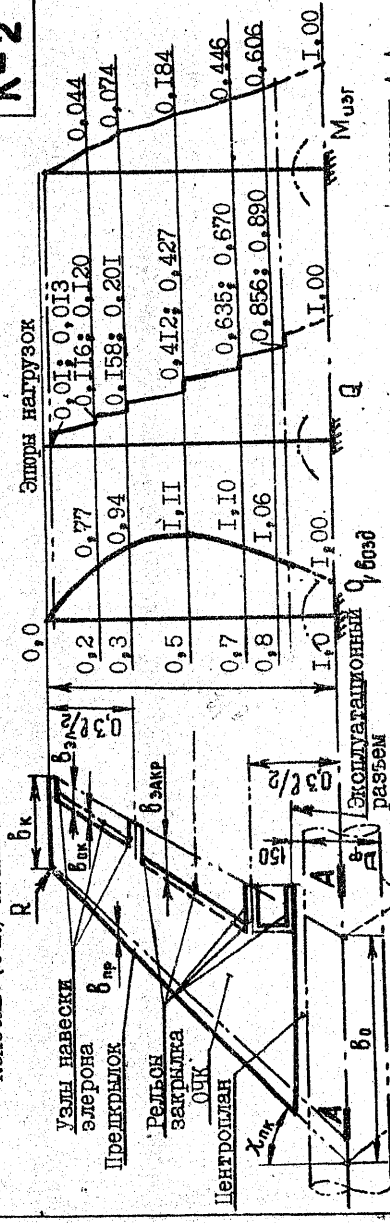


Основные параметры самолета и разрабатываемого агрегата

Вариант	M _{max} /H	l _{п.т}	l _{п.т}	l _{п.т}	S _{кр}	l, м	b _{к.м}	b _{к.м}	b _{к.м}	b _{к.м}	Прог. Профиль	Д.Ф.М	ψ	Сх.	
1	0,50/6	4	4,5	16	10,58	2,16	0,86	6,0	20,0	25,0	25,0	2312	1,6	+4	+2
2	0,50/6	6	4,5	24	12,96	2,65	1,06	7,0	25,0	25,0	28,0	2312	1,8	+3	+2
3	0,50/6	8	4,5	32	14,96	3,05	1,22	7,0	30,0	28,0	30,0	2312	1,8	+3	+2

КОНСОЛЬ (ОТК) КРЫЛА ПАСАЖИРСКОГО САМОЛЕТА МЕСТНЫХ АВИАЛИНИЙ

K-2



Варианты конструктивно-силовых схем

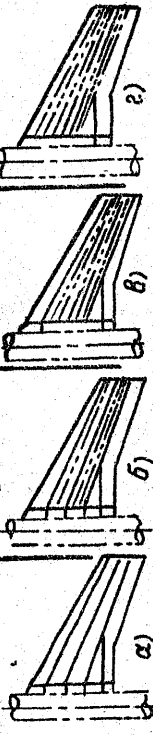
Три лонжерона

Кессон (два лонжерона)

Моноблок (две стенки)

Величины нагрузок в сечении А-А

Вариант	Величины нагрузок в сечении А-А		
	Q _{безд.} , даН/м	Q, даН	Мизг, даН·м
1	4228	59400	340778
2	5460	59400	564958
3	6460	83160	564958

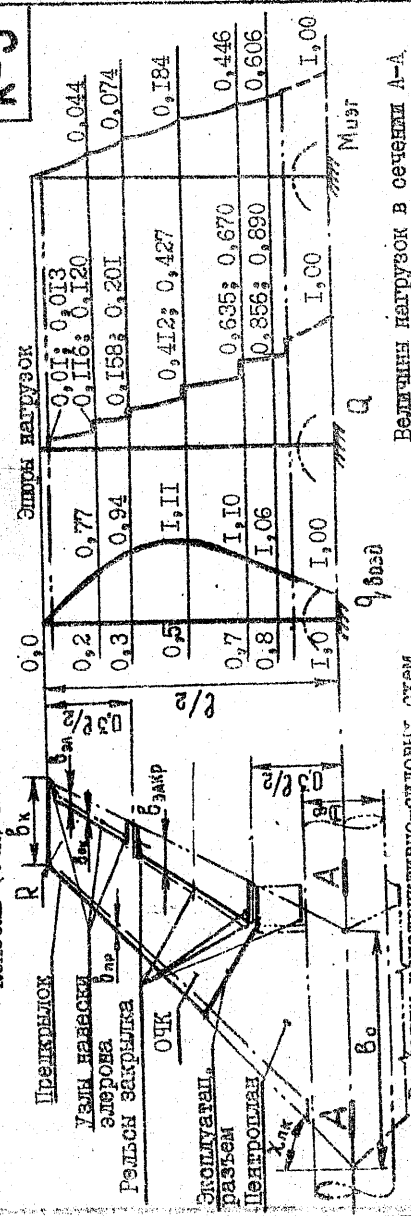


Основные параметры самолета и разрабатываемого агрегата

Вариант	M _{max} /H	l _{п.т}	l _{п.т}	l _{п.т}	S _{кр}	l, м	b _{к.м}	b _{к.м}	b _{к.м}	b _{к.м}	Прог. Профиль	Д.Ф.М	ψ	Сх.	
1	0,70/8	18	4,5	60	35	20,50	4,35	1,24	6,0	25,0	23,0	25,0	2312	2,0	+2
2	0,70/8	30	4,5	100	35	26,46	5,88	1,68	7,0	28,0	25,0	28,0	2312	2,6	+2
3	0,70/8	42	4,5	140	35	31,30	6,65	1,90	7,0	30,0	28,0	30,0	2312	2,8	+2

КОНСОЛЬ (ОЧК) КРЫЛА МАГИСТРАЛЬНОГО ПАССАЖИРСКОГО САМОЛЕТА

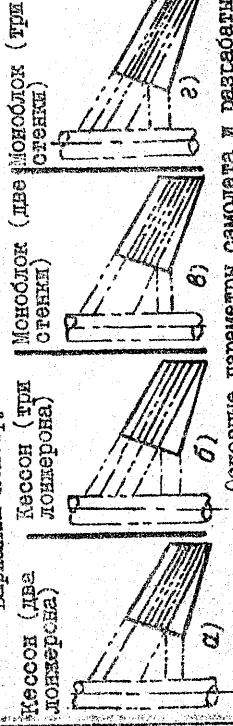
К-3



Величины нагрузок в сечении А-А

Вариант	1	2	3
Q, везд, даН/м	8050	8700	9315
Q, даН	118800	138600	158400
M _{изг} , даН·м	924710	1163975	1420125

Варианты конструктивно-силовых схем

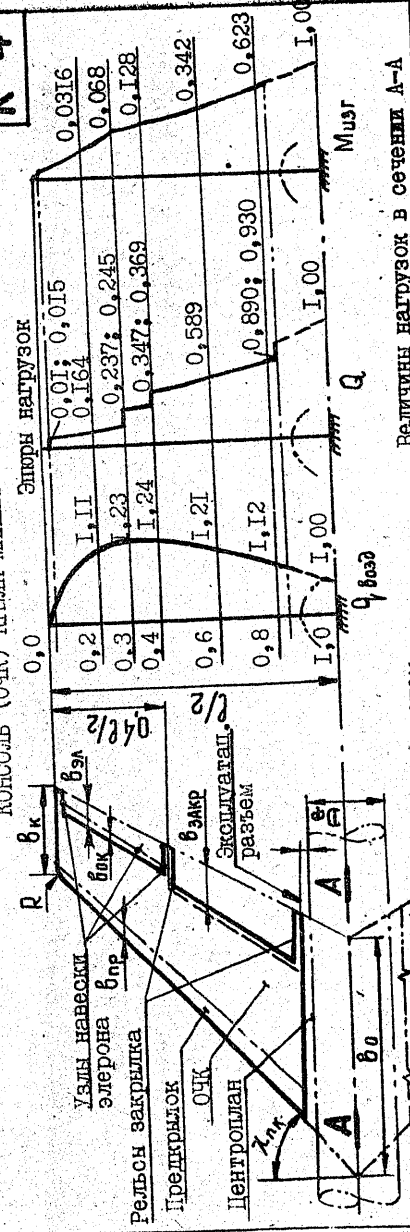


Основные параметры самолета и разрабатываемого агрегата

Вариант	M _{max} /H	M _{0,7} /T	P _у	S _{кр}	Х _{лк}	l, м	b _к , м	b _{сп} , м	b _{эл} , м	% б _к	% б _{сп}	% б _{эл}	Q, везд, даН/м	ψ	α ₀	
1	0,85/12	60	4,5	172	35	35,90	7,45	2,13	7,0	25,0	23,0	26,0	2310	3,2	-3	+2
2	0,85/12	70	4,5	200	35	38,73	8,03	2,29	8,0	28,0	25,0	28,0	2310	3,2	-3	+3
3	0,85/12	80	4,5	228	35	41,35	8,58	2,45	8,0	30,0	28,0	30,0	2310	3,2	-2	+3

К-4

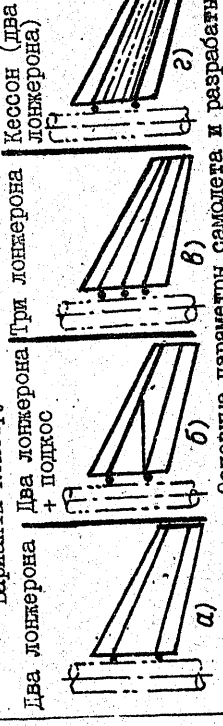
КОНСОЛЬ (ОЧК) КРЫЛА МАГНИВЕРЕННОГО САМОЛЕТА



Величины нагрузок в сечении А-А

Вариант	1	2	3
Q, везд, даН/м	7320	8470	9455
Q, даН	35490	47320	59150
M _{изг} , даН·м	82910	127465	178365

Варианты конструктивно-силовых схем

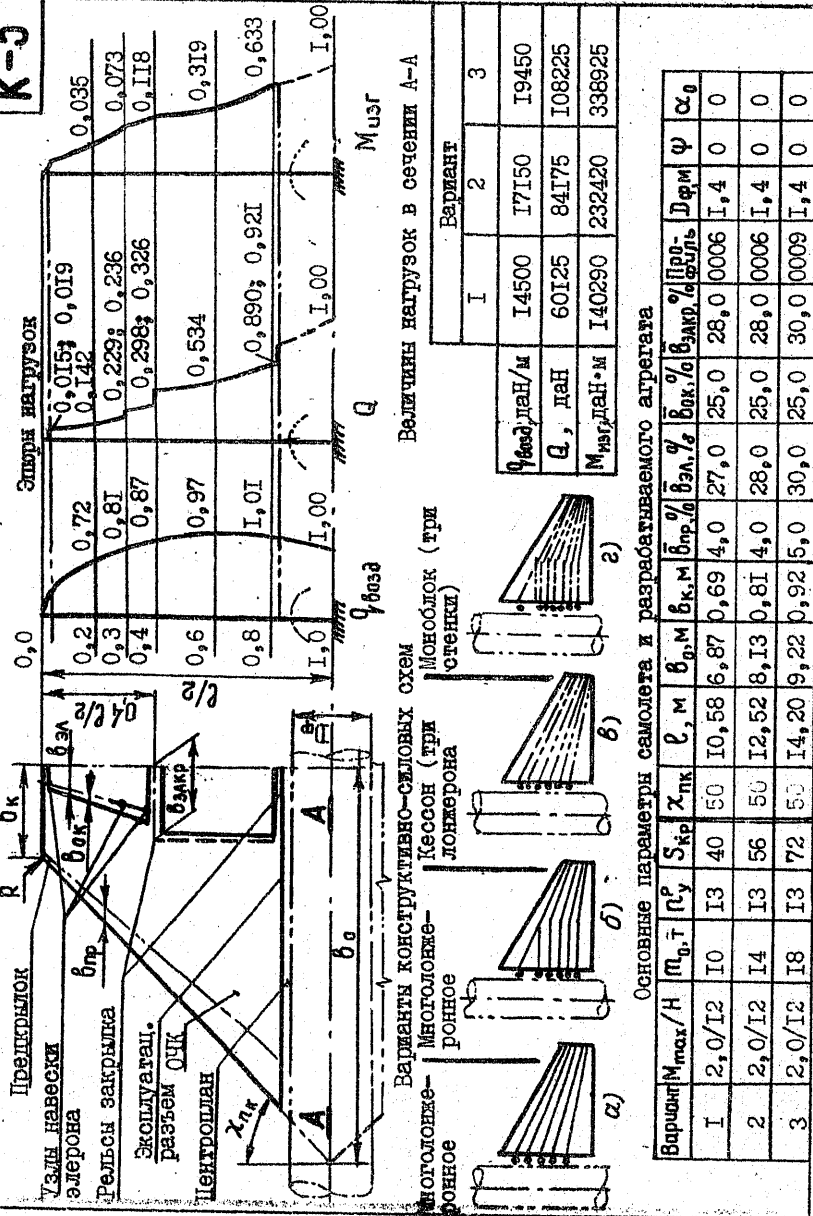


Основные параметры самолета и разрабатываемого агрегата

Вариант	M _{max} /H	M _{0,7} /T	P _у	S _{кр}	Х _{лк}	l, м	b _к , м	b _{сп} , м	b _{эл} , м	% б _к	% б _{сп}	% б _{эл}	Q, везд, даН/м	ψ	α ₀
1	2,4/12	6	13	24	45	9,80	3,67	1,22	5,0	27,0	25,0	28,0	0008	1,3	0
2	2,4/12	8	13	32	45	11,30	4,25	1,42	6,0	28,0	25,0	28,0	0008	1,3	0
3	2,4/12	10	13	40	45	12,65	4,74	1,58	6,0	30,0	28,0	30,0	0008	1,3	0

K-5

КОНСОЛЬ (ОЧК) КРЫЛА МАНЕВРЕННОГО САМОЛЕТА



Вариант	Величины нагрузок в сечении А-А	
	Q _{возд} , даН/м	M _{изг} , даН·м
1	14500	17150
2	60125	84175
3	140290	232420

Вариант	Основные параметры самолета и разрабатываемого агрегата															
	M _{max} /H	n _г	Γ _{ср}	S _{кр}	χ _{нк}	ρ, м	σ _м	σ _к	б _{кр} , м	б _{пл} , %	б _{ак} , %	б _{закр} , %	Д _{пр}	Д _{фм}	ψ	α ₀
1	2,0/12	10	13	40	50	10,58	6,87	0,69	4,0	27,0	25,0	28,0	0006	1,4	0	0
2	2,0/12	14	13	56	50	12,52	8,13	0,81	4,0	28,0	25,0	28,0	0006	1,4	0	0
3	2,0/12	18	13	72	50	14,20	9,22	0,92	5,0	30,0	25,0	30,0	0009	1,4	0	0

**ЗАДАНИЯ
НА РАЗРАБОТКУ КОНСТРУКЦИИ ЦЕНТРОПЛАНА ***

Разработать конструкцию центроплана в соответствии с номером-шифром задания Ц-1-2-а-б, где а - вариант конструктивно-силовой схемы; б - вариант расположения центроплана относительно фюзеляжа.

КСС центроплана (количество и расположение стрингеров, лонжеронов, стенок, нормальных и усиленных нервюр) формировать в соответствии с геометрией крыла по предлагаемой к разработке КСС с учетом внешних нагрузок.

Определить действующие на центроплан нагрузки, построив в абсолютных величинах эпюры распределенной по размаху крыла погонной воздушной нагрузки $Q_{возд}$, перерезывающей силы Q и изгибающего момента $M_{изг}$ с учетом опирания центроплана на фюзеляж. Относительные эпюры Q , $M_{изг}$ построены для одного из основных расчетных случаев с учетом разгрузки крыла силой тяжести от проектной (лимитной) массы крыла.

На основании принятой для отъемной части крыла КСС и эпюры Q построить эпюру крутящего момента $M_{кр}$, считая, что линия центров давления расположена на 25% текущей хорды.

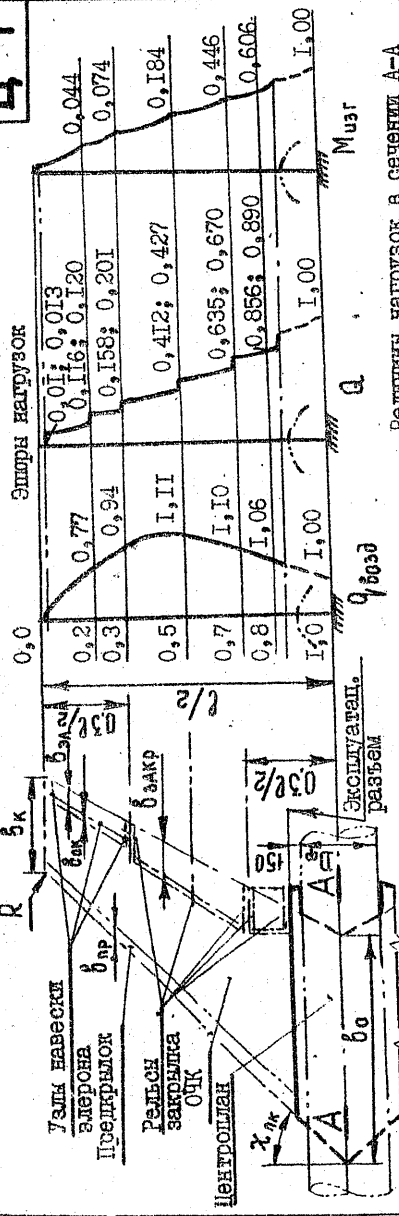
Произвести проектировочный расчет центроплана на прочность в одном сечении, рассчитать бортовую нервюру, узлы крепления консоли к центроплану и узлы крепления центроплана к фюзеляжу.

При разработке конструкции центроплана показать увязку с силовыми элементами фюзеляжа.

* Номенклатура исходных данных позволяет разработать консоль (ОЧК) крыла для данного центроплана.

Ц-1

ЦЕНТРОПЛАН КРЫЛА ПАССАЖИРСКОГО САМОЛЕТА МЕСТНЫХ АВИАЛИНИЙ



Величины нагрузок в сечении А-А

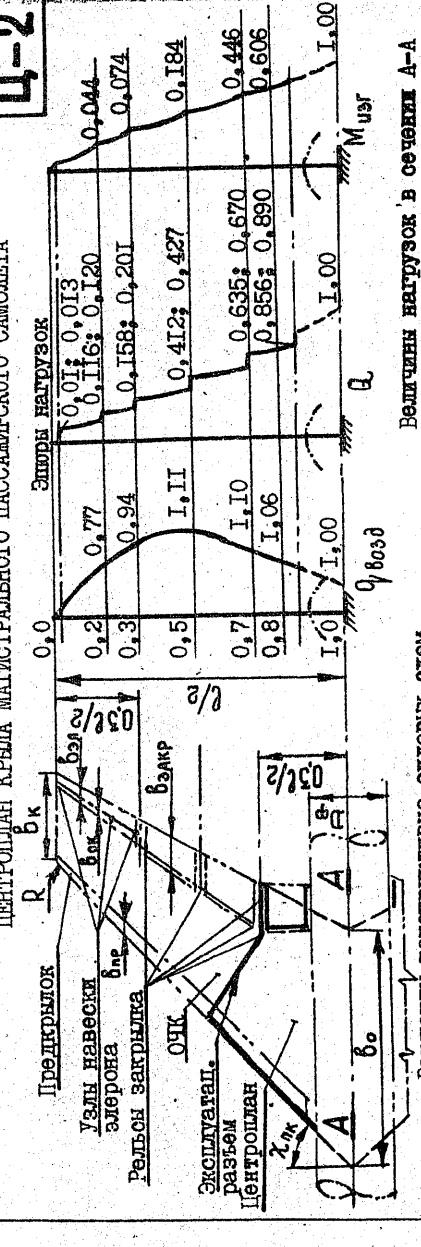
Вариант	Моноблок (три стенки)		
	I	2	3
Q _{взр} , даН/м	4570	5180	5980
Q, даН	41580	53460	71280
M _{взр} , даН·м	199600	290940	447880

Основные параметры самолета и разрабатываемого агрегата

Вариант	M _{max} /H	M _{гр} /T	n _{гр}	S _{кр}	Х _{лк}	Р, м	В _{о.м}	В _{к.м}	В _{пр.м}	В _{закр.м}	В _{закр.р}	В _{закр.р}	В _{закр.р}	ψ	α _о
1	0,70/8	21	4,5	70	35	22,14	4,92	1,40	6,0	25,0	25,0	25,0	2312	2,0	-2
2	0,70/8	27	4,5	90	35	25,10	5,58	1,59	7,0	28,0	25,0	28,0	2312	2,6	-2
3	0,70/8	36	4,5	120	35	28,98	6,44	1,84	7,0	30,0	28,0	30,0	2312	2,8	-2

Ц-2

ЦЕНТРОПЛАН КРЫЛА МАГИСТРАЛЬНОГО ПАССАЖИРСКОГО САМОЛЕТА

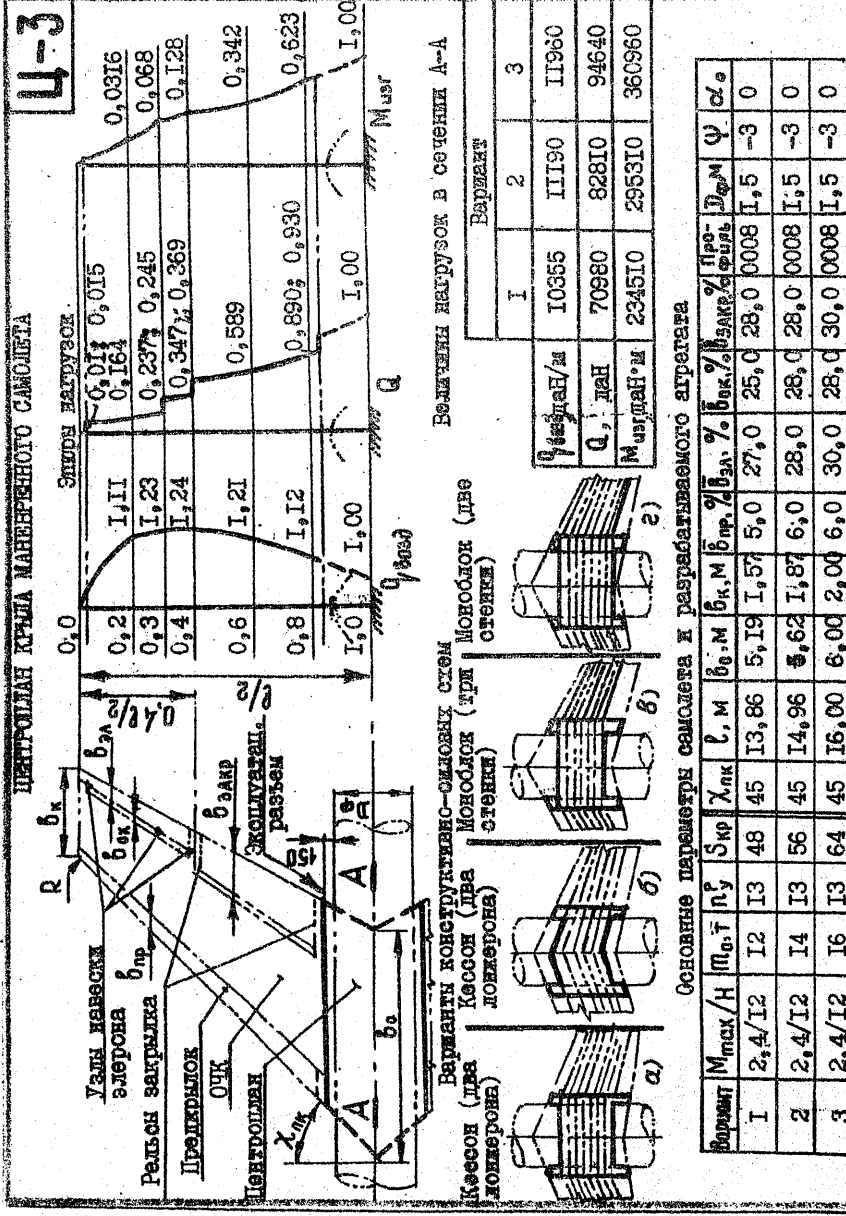


Величины нагрузок в сечении А-А

Вариант	Моноблок (две стенки)		
	I	2	3
Q _{взр} , даН/м	8380	9015	9870
Q, даН	128700	148900	178200
M _{взр} , даН·м	1042230	1283830	1696165

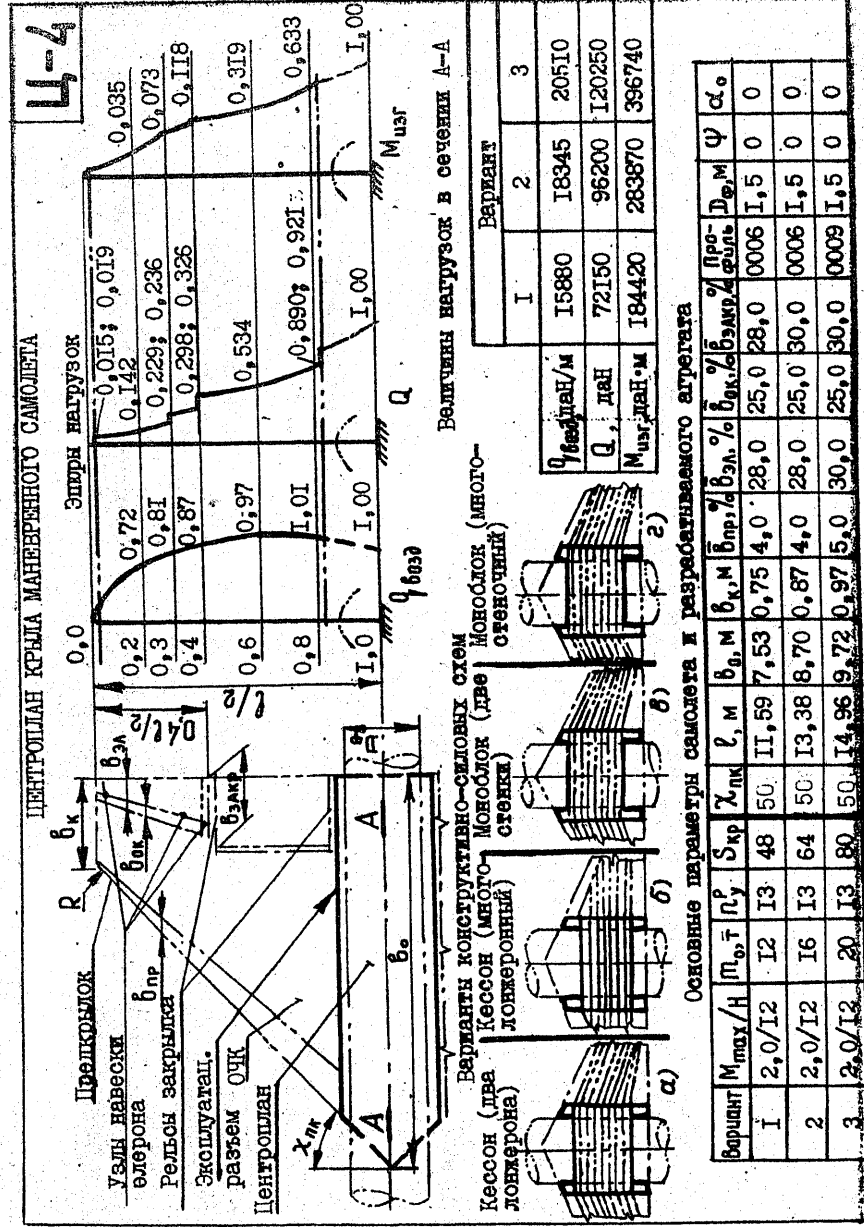
Основные параметры самолета и разрабатываемого агрегата

Вариант	M _{max} /H	M _{гр} /T	n _{гр}	S _{кр}	Х _{лк}	Р, м	В _{о.м}	В _{к.м}	В _{пр.м}	В _{закр.м}	В _{закр.р}	В _{закр.р}	В _{закр.р}	ψ	α _о
1	0,85/12	65	4,5	186	36	37,38	7,75	2,21	7,0	25,0	25,0	25,0	2310	3,2	-2
2	0,85/12	75	4,5	214	36	40,06	8,31	2,37	8,0	28,0	25,0	28,0	2310	3,2	-3
3	0,85/12	90	4,5	257	35	43,90	9,10	2,60	8,0	30,0	28,0	30,0	2310	3,2	-2



Основные параметры самолета и разрабатываемого агрегата

Вариант	$M_{тmax}/H$	$\Pi_{ср}$	$\Pi_{у}$	$S_{кр}$	$\chi_{лк}$	$\rho, \text{ м}$	$b_{к, \text{ м}}$	$b_{р, \text{ м}}$	$b_{взл, \%}$	$b_{взл, \%}$	$b_{взл, \%}$	$\% \text{ про-}$	$\% \text{ про-}$	$\% \text{ про-}$	$D_{ср, \text{ м}}$	ψ	α, \circ
1	2,4/12	12	13	48	45	13,86	5,19	1,57	5,0	27,0	25,0	28,0	0008	1,5	-3	0	
2	2,4/12	14	13	56	45	14,96	5,62	1,87	6,0	28,0	28,0	28,0	0008	1,5	-3	0	
3	2,4/12	16	13	64	45	16,00	6,00	2,00	6,0	30,0	28,0	30,0	0008	1,5	-3	0	



**ЗАДАНИЕ
НА РАЗРАБОТКУ КОНСТРУКЦИИ ГОРИЗОНТАЛЬНОГО И ВЕРТИКАЛЬНОГО
ОПЕРЕНИЯ**

Разработать конструкцию горизонтального (Г), или вертикального (В) оперения самолета в соответствии с номером-цифрой задания Г-1-2-а-б (В-1-2-а), где а - вариант конструктивно-силовой схемы; б - вариант расположения стабилизатора относительно фюзеляжа.

КСС оперения (количество и расположение стрингеров, лонжеронов, стенок, нормальных и усиленных нервюр) формировать в соответствии с геометрией оперения по предлагаемой к разработке КСС с учетом внешних нагрузок.

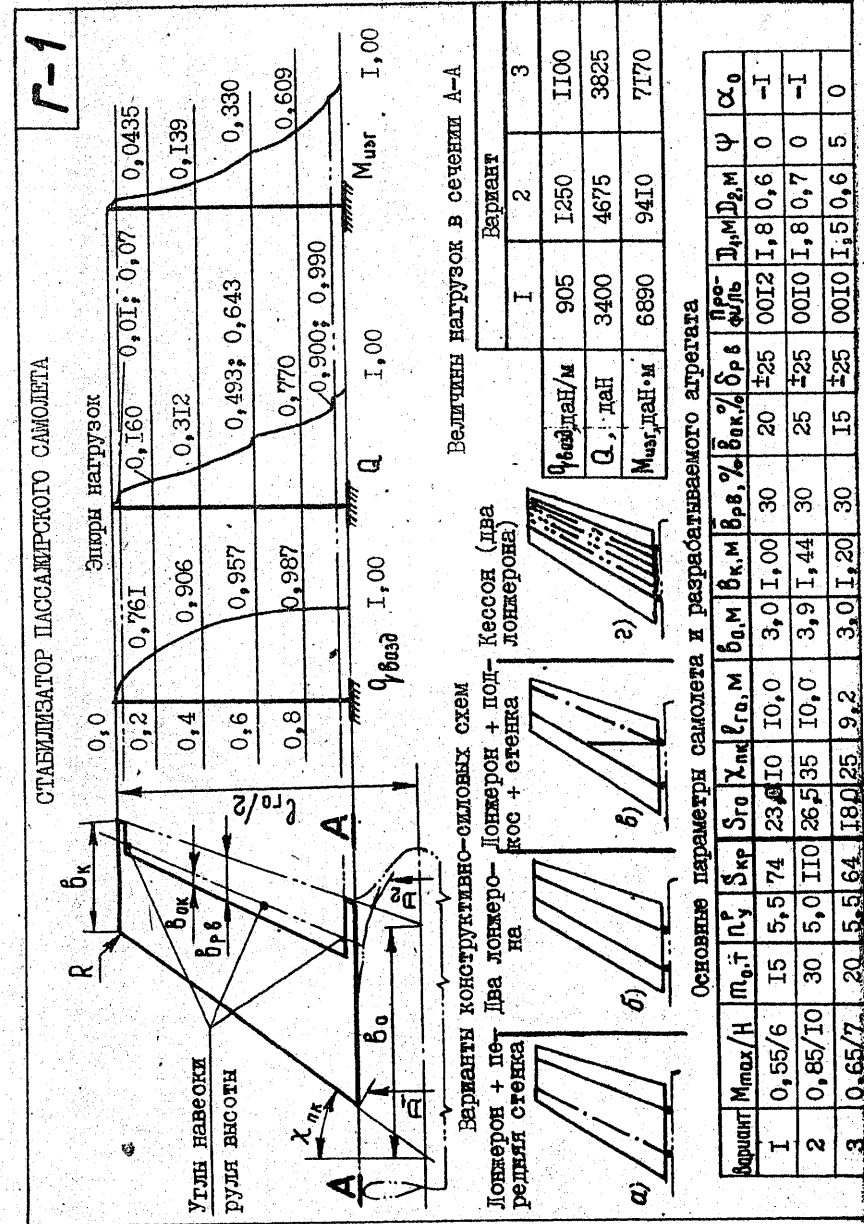
Построить в абсолютных величинах эпюры распределенной по размаху оперения погонной воздушной нагрузки $q_{\text{возд}}$, перерезывающей силы Q и изгибающего момента $M_{\text{изг}}$ с учетом опирания на фюзеляж.

На основании принятой КСС и эпюры Q построить эпюру крутящего момента $M_{\text{кр}}$, считая, что линия центров давления расположена на 25% текущей хорды.

Необходимо построить эпюры нагрузок в случае, если к оперению приложены сосредоточенные нагрузки (от горизонтального или вертикального оперения в Т-образной или двухкилевой схеме).

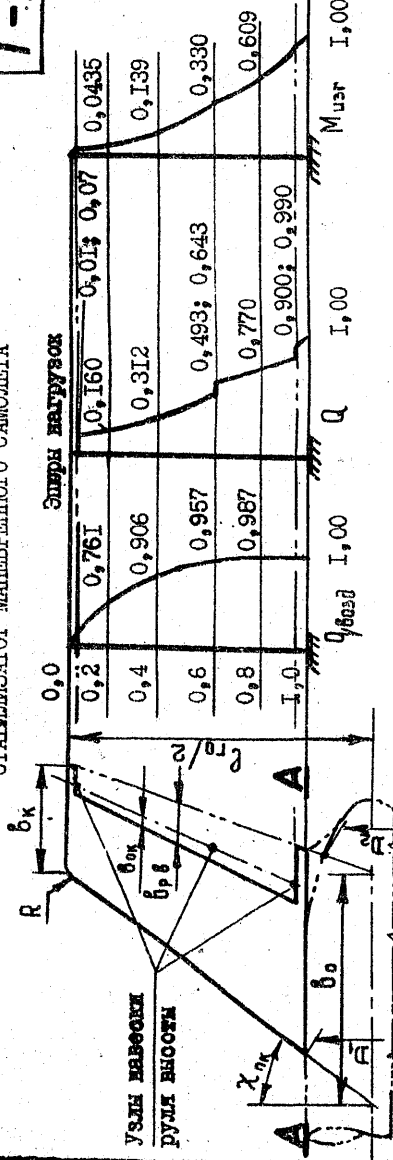
Произвести проектировочный расчет оперения на прочность в двух сечениях, рассчитать бортовую нервюру и узлы крепления оперения к опоре (фюзеляжу или оперению).

При разработке конструкции переставного стабилизатора показать увязку оси перестановки и привода с конструкцией опоры.



СТАБИЛИЗАТОР МАНВЕРНОГО САМОЛЕТА

Г-2



Варианты конструктивно-силовых схем
Лонжерон + подкос + стенка
Два лонжерона + подкос + стенка
Два лонжерона

Величины нагрузок в сечении А-А

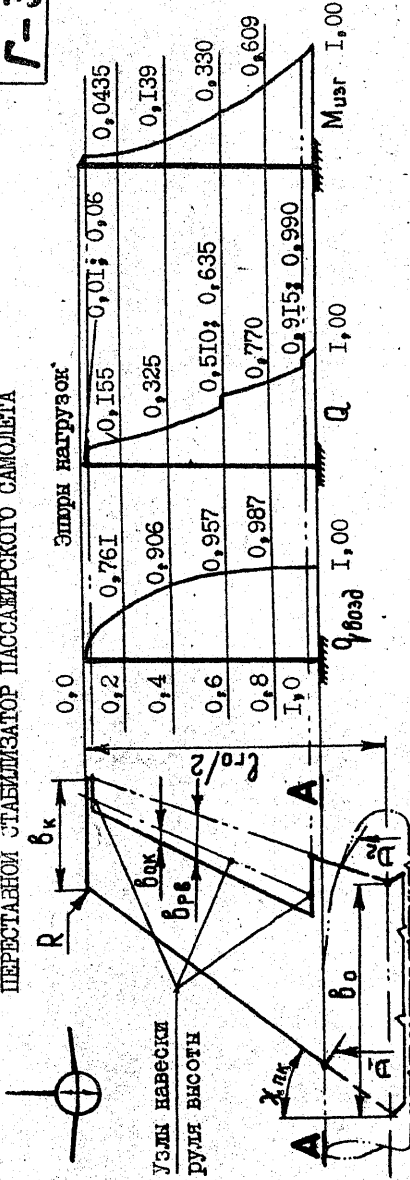
Вариант	Величины нагрузок в сечении А-А		
	Q, даН	M _{изг} , даН·м	Вариант
1	870	2595	2
2	1700	3825	3
3	1790	3035	

Основные параметры самолета и разрабатываемого агрегата

Вариант	Мпх/Н	П _д , т	П _у	С _{кр}	С _л	χ _{лк}	ρ _г , м	В ₀ , м	В _к , м	В _{рв} , %	В _{рб} , %	Профиль	Д ₁ , м	Д ₂ , м	ψ	α ₀
1	0,35/3	3,15	9	19,4	4,8	10	4,8	1,35	0,60	30	±25	0010	0,3	0,3	0	0
2	0,74/9	5,90	12	19,3	4,2	15	4,15	1,20	0,72	30	±25	0010	0,8	0,6	0	0
3	0,82/9	24,0	10	49,0	12,0	35	6,5	2,50	1,10	30	±25	0010	1,1	0,5	0	-1

ПЕРЕСТАВНОЙ СТАБИЛИЗАТОР ПАССАЖИРСКОГО САМОЛЕТА

Г-3



Варианты конструктивно-силовых схем
Два лонжерона
Лонжерон + подкос + стенка
Два лонжерона + подкос + стенка

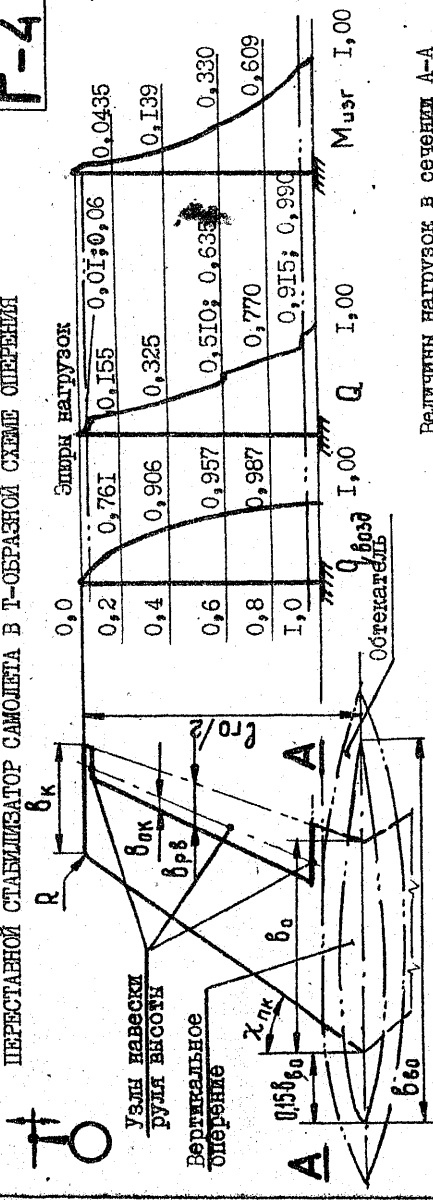
Величины нагрузок в сечении А-А

Вариант	Величины нагрузок в сечении А-А		
	Q, даН	M _{изг} , даН·м	Вариант
1	2890	3750	2
2	10625	19550	3
3	21015	54860	

Основные параметры самолета и разрабатываемого агрегата

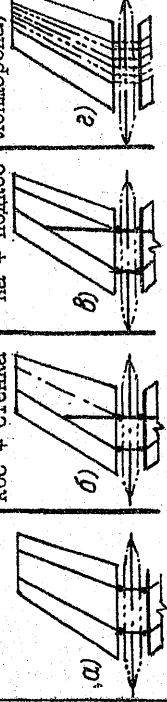
Вариант	Мпх/Н	П _д , т	П _у	С _{кр}	С _л	χ _{лк}	ρ _г , м	В ₀ , м	В _к , м	В _{рв} , %	В _{рб} , %	Профиль	Д ₁ , м	Д ₂ , м	ψ	Угол переставки или стабилизатора
1	0,85/9	50	5,5	90	29	35	11,0	3,8	1,45	25	±25	0012	2,8	2,0	+7	-4...+5
2	0,85/10	140	5,0	270	58	38	14,0	6,0	2,20	25	±25	0012	2,0	1,6	+7	-4...+5
3	0,80/10	320	4,0	510	136	38	22,0	10,0	2,60	25	±25	0012	3,5	1,5	+9	-4...+5

ШЕСТИСТАНОЙ СТАБИЛИЗАТОР САМОЛЕТА В Т-ОБРАЗНОЙ СХЕМЕ ОПЕРЕНИЯ



Узлы навески руля высоты
Вертикальное оперение
Обтекатель

Варианты конструктивно-силовых схем
Два лонжерона + подкос + стенка
Два лонжерона + подкос + стенка лонжерона



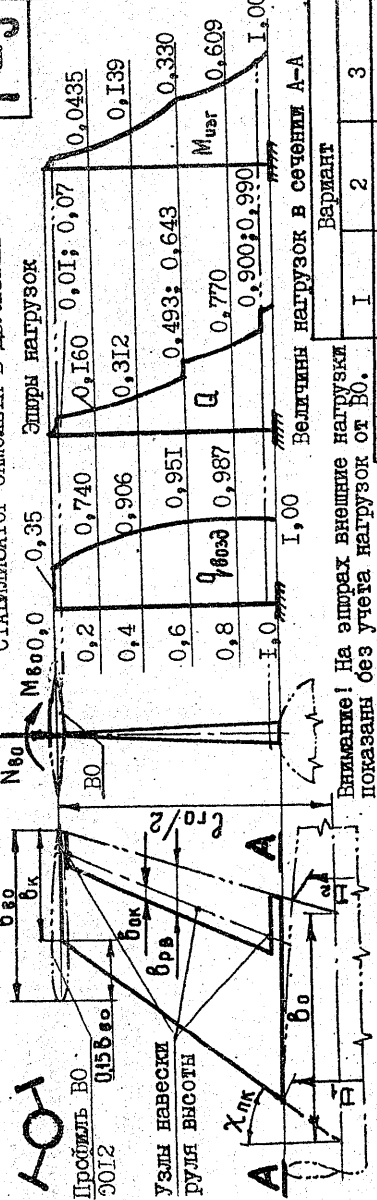
Величины нагрузок в сечении А-А

Q, даН/м	Вариант		
	1	2	3
780	1755	2256	
2500	9000	13500	
4315	24840	43470	

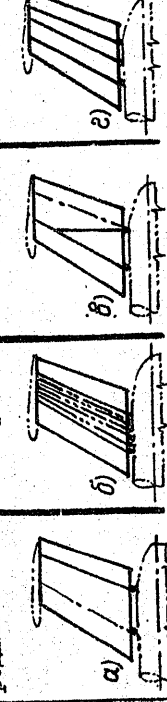
Основные параметры самолета и разрабатываемого агрегата

Вариант	M _{max} /H	Π _{0,7}	Π _{0,1}	Π _{0,5}	S _{кр}	S _{го}	X _{пк}	ρ _{го} , М	β ₀ , М	β _{рв} , %	β _{ак} , %	% Δр _в	Периоды Удлы перест.-г.о.		Продольн. г.о.	
													Н ₀ , г.о.	Н ₀ , г.о.		Н ₀ , г.о.
1	0,65/6	14,0	5,7	70	13	10	7,50	2,5	1,0	25	30	±25	0010	+3...-6	3,75	0010
2	0,80/10	44,0	5,4	115	30	38	12,0	3,9	1,2	25	30	±20	0010	-1,5...-3	5,85	0010
3	0,80/10	98,0	4,4	180	40	40	14,0	4,0	1,6	25	30	±25	0010	-4,5...-10	6,00	0010

СТАБИЛИЗАТОР САМОЛЕТА В ДВУХКИВНОЙ СХЕМЕ



Варианты конструктивно-силовых схем
Лонжерон + передняя стенка
Кессон (два лонжерона + подкос + стенка)
Три лонжерона

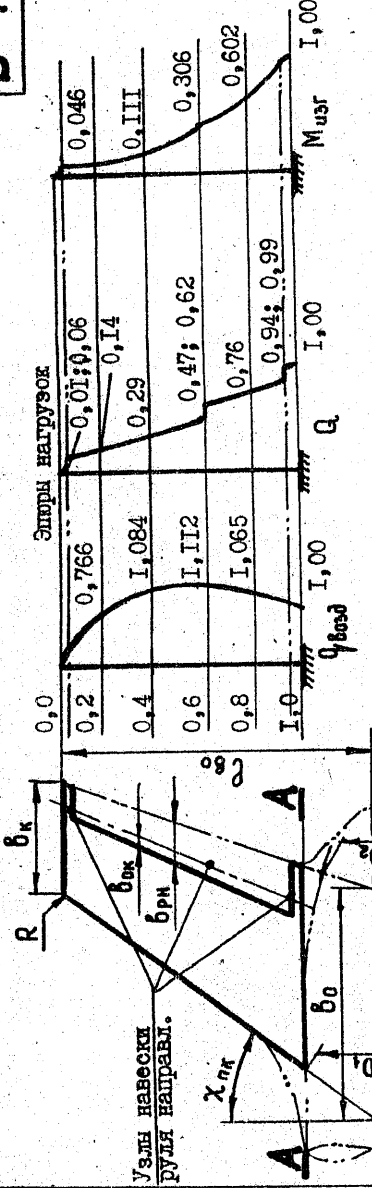


Величины нагрузок в сечении А-А

Q, даН/м	Вариант		
	1	2	3
850	4800	1700	
1200	32800	3600	
910	120700	4100	

Основные параметры самолета и разрабатываемого агрегата

Вариант	M _{max} /H	Π _{0,7}	Π _{0,1}	S _{кр}	S _{го}	X _{пк}	ρ _{го} , М	β ₀ , М	β _{рв} , %	% Δр _в	Периоды		Φ					
											Н ₀ , г.о.	Н ₀ , г.о.		Δ ₁ , М	Δ ₂ , М			
1	0,35/3,0	10	6,0	42	7,5	0	5,5	1,35	30	25	±25	0012	2,2	2,2	1,42	0	0	
2	0,70/9,0	250	4,0	350	100	10	22,0	5,00	3,0	30	25	±25	0012	5,0	4,0	6,00	0	0
3	0,60/1,5	10	11	47	11	0	5,8	1,90	1,9	30	25	±25	0012	0,9	0,8	2,05	0	-7

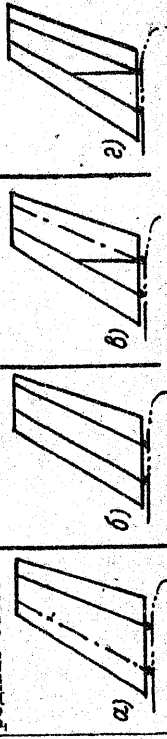


Узел навески руля направл.
Узел навески руля направл.

Эпюры нагрузок

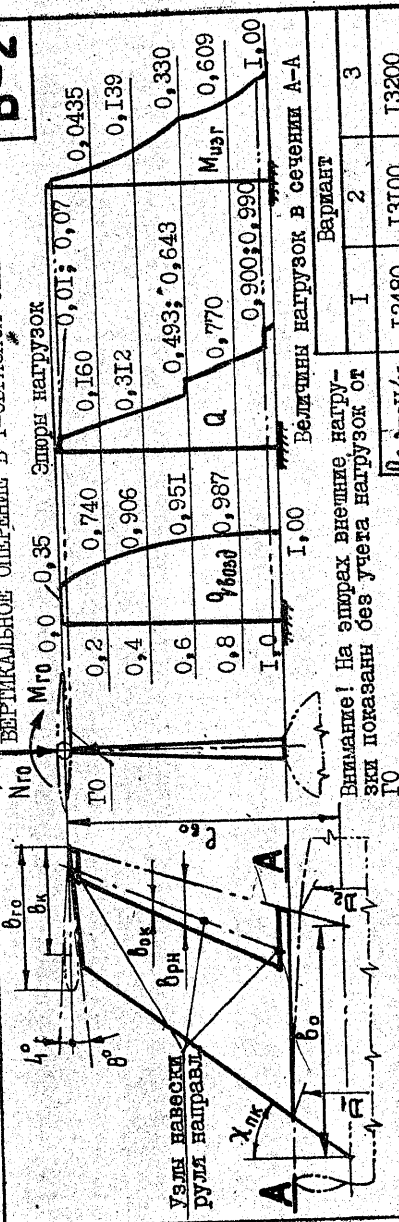
Величины нагрузок в сечении А-А

Вариант	I	2	3
$Q_{везд}$, даН/м	6250	5140	4280
Q , даН	17500	13800	10700
$M_{изг}$, даН·м	26365	19935	14400



Основные параметры самолета и разрабатываемого агрегата

Вариант	M_{max}/H	$m_{o,r}$	Π_r	Π_z	$S_{кр}$	$S_{б0}$	$\chi_{лк}$	$\rho_{вд}$	V_0, M	$V_{к, M}$	$V_{р, \%}$	$V_{ок, \%}$	$\Delta r_{н}$	$D_{с, M}$		
1	0,55/12	125	5,5	1,5	123	13,1	35	6,55	4,55	1,45	25	20	± 25	0010	2,8	2,1
2	0,60/12	100	5,5	1,5	110	10,4	32	6,28	3,82	1,15	25	23	± 25	0009	2,8	2,0
3	0,50/11	40	5,5	1,5	80	8,1	30	5,85	3,25	1,05	25	23	± 25	0008	2,5	1,7

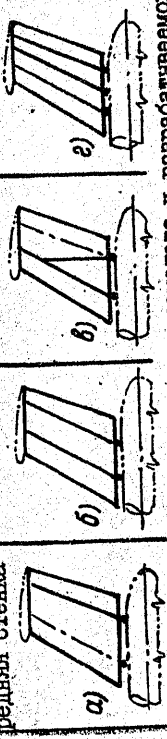


Узел навески руля направл.
Узел навески руля направл.

Эпюры нагрузок

Величины нагрузок в сечении А-А

Вариант	I	2	3
$Q_{везд}$, даН/м	12480	13100	13200
Q , даН	48000	56500	61500
$M_{изг}$, даН·м	99360	131250	154180

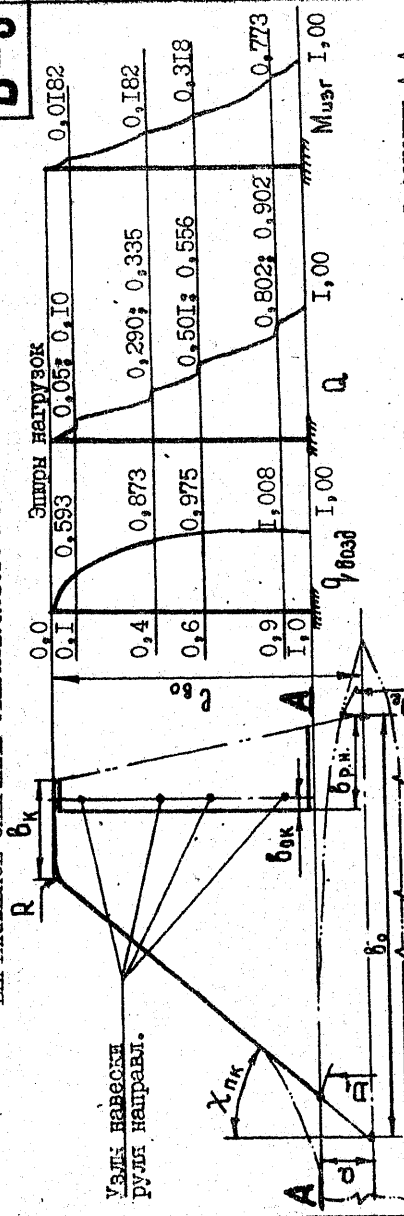


Основные параметры самолета и разрабатываемого агрегата

Вариант	M_{max}/H	$m_{o,r}$	Π_r	Π_z	$S_{кр}$	$S_{б0}$	$\chi_{лк}$	$\rho_{вд}$	V_0, M	$V_{к, M}$	$V_{р, \%}$	$V_{ок, \%}$	$\Delta r_{н}$	$D_{с, M}$	$D_{г, M}$	$\rho_{г, M}$	Прочность	
1	0,75/11	250	4,5	1,5	340	35	45	9,0	8,1	4,0	20	25	± 25	0010	5,1	2,8	5,45	0010
2	0,80/12	275	4,5	1,5	350	41	46	10,1	8,7	3,8	20	25	± 25	0010	5,2	2,8	4,55	0009
3	0,85/12	300	3,8	1,5	400	45	47	10,9	9,2	3,3	20	25	± 25	0009	5,3	2,8	4,50	0008

B-3

ВЕРТИКАЛЬНОЕ ОПЕРЕНИЕ СВЕРХЗВУКОВОГО ПАССАЖИРСКОГО САМОЛЕТА



Величины нагрузок в сечении А-А

Вариант	1	2	3
$Q_{возд}$, даН/м	20860	21470	22100
$Q_{г}$, даН	74000	73400	75500
$M_{изг}$, даН·м	141260	135050	138920

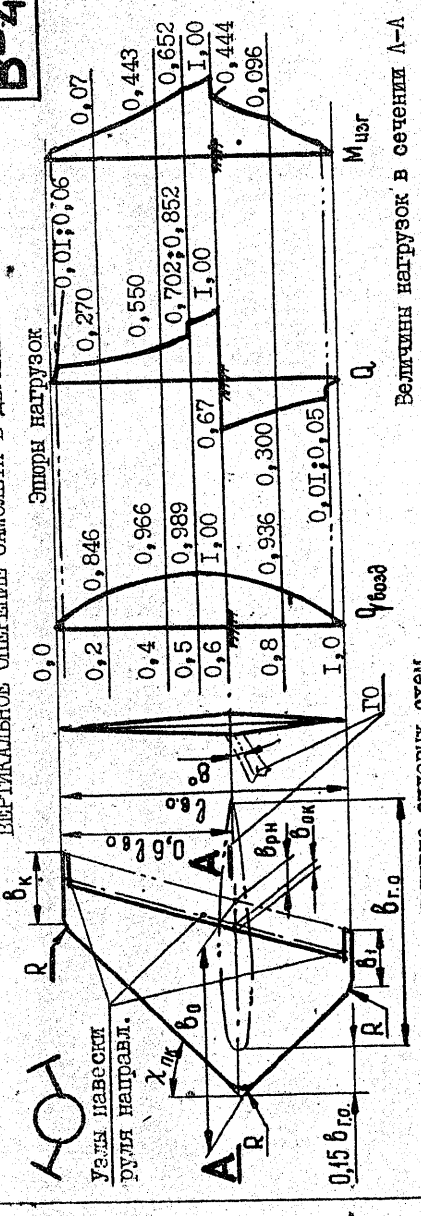
Варианты конструктивно-силовых схем
 Два лонжерона + передняя стенка
 Четыре лонжерона + передняя стенка
 Кессон (два лонжерона)

Основные параметры самолета и разрабатываемого агрегата

Вариант	M_{max}/H	$M_{с.г}$	$P_{с.г}$	$P_{с.т}$	$S_{до}$	$\chi_{лк}$	$S_{до}$	$S_{скр}$	$P_{с.т}$	$P_{с.г}$	$S_{до}$	$b_{г.м}$	$b_{г.м}$	$b_{к.м}$	$b_{р.м}$	$b_{к.м}$	$b_{р.м}$	$\sigma_{п.г}$	$\sigma_{п.к}$	$\sigma_{п.т}$	$a, м$	$Д, м$	$Д, м$	
1	2,02/16	180	3,8	1,5	350	54,5	45	8,30	13,0	3,20	3,00	0,30	±25	0004	1,00	2,8	0,4							
2	2,50/18	200	3,8	1,5	370	53,5	47	8,00	13,5	3,10	2,85	0,25	±25	0004	1,00	2,8	0,4							
3	2,75/19	220	3,8	1,5	385	55,0	50	8,00	14,0	3,00	2,50	0,25	±25	0004	1,00	2,8	0,4							

B-4

ВЕРТИКАЛЬНОЕ ОПЕРЕНИЕ САМОЛЕТА В ДВУХКОНСОЛЬНОЙ СХЕМЕ



Величины нагрузок в сечении А-А

Вариант	1	2	3
$Q_{возд}$, даН/м	3050	3000	3080
$Q_{г}$, даН	6420	7320	7740
$M_{изг}$, даН·м	7265	9600	10470

Варианты конструктивно-силовых схем
 Лонжерон + передняя стенка
 Два лонжерона + подкос
 Кессон (два лонжерона)

Основные параметры самолета и разрабатываемого агрегата

Вариант	M_{max}/H	$M_{с.г}$	$P_{с.г}$	$P_{с.т}$	$S_{до}$	$\chi_{лк}$	$S_{до}$	$S_{скр}$	$P_{с.т}$	$P_{с.г}$	$S_{до}$	$b_{г.м}$	$b_{г.м}$	$b_{к.м}$	$b_{р.м}$	$b_{к.м}$	$b_{р.м}$	$\sigma_{п.г}$	$\sigma_{п.к}$	$\sigma_{п.т}$	$a, м$	$Д, м$	$Д, м$	
1	0,75/11	150	5,5	1,5	200	7,8	35	4,10	2,25	1,32	1,25	30	15	±25	0008	2,45	0009							
2	0,78/12	200	5,5	1,5	250	8,9	37	4,75	2,34	1,38	1,28	30	15	±25	0006	2,60	0008							
3	0,80/13	250	5,5	1,5	300	9,4	40	4,90	2,58	1,40	1,29	30	15	±25	0006	2,75	0008							

ЗАДАНИЯ НА РАЗРАБОТКУ КОНСТРУКЦИИ ЦЕЛЬНОПОВОРОТНОГО ГОРИЗОНТАЛЬНОГО ОПЕРЕНИЯ

Разработать конструкцию цельноповоротного горизонтального оперения (ЦПО) в соответствии с номером-шифром задания 0-1-2-а-б, где а - вариант конструктивно-силовой схемы; б - вариант расположения ЦПО относительно фюзеляжа.

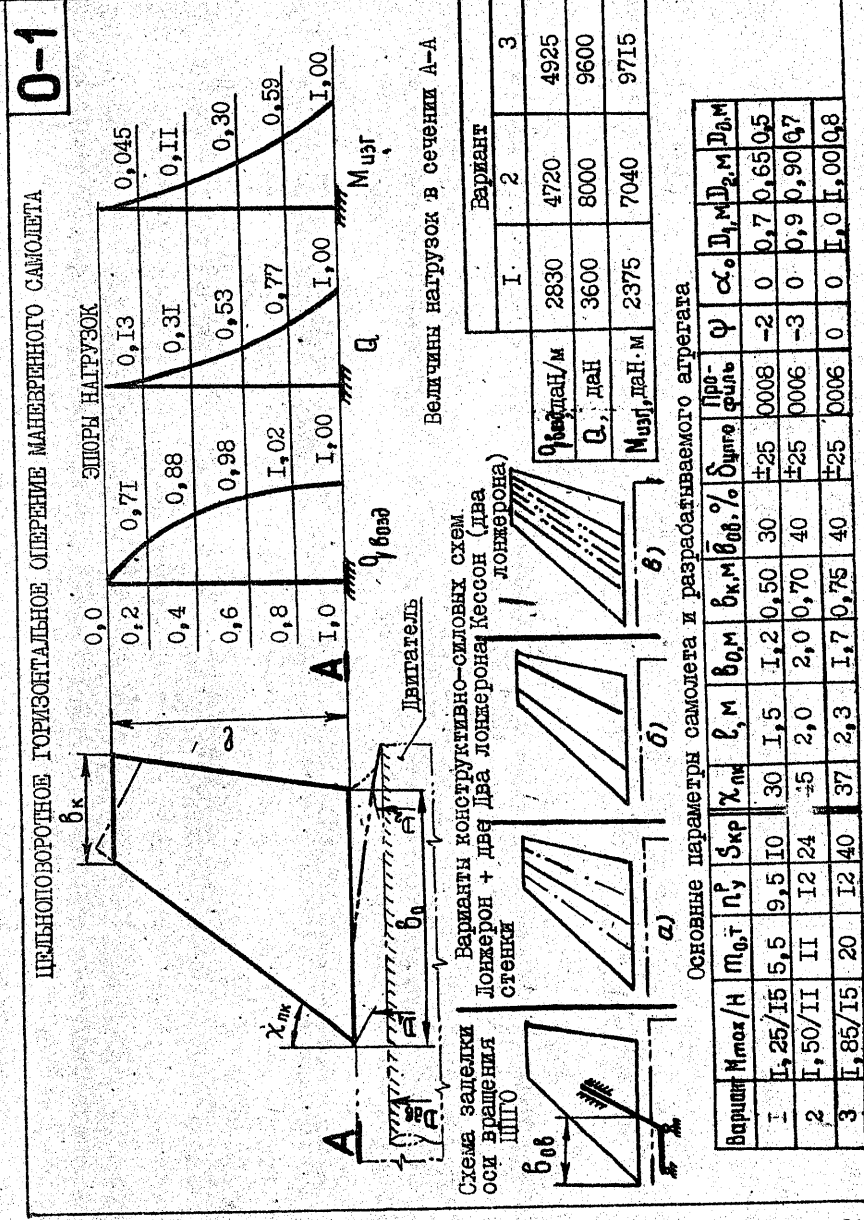
КСС оперения (количество и расположение стрингеров, лонжеронов, стенок, нормальных и усиленных нервюр) формировать в соответствии с геометрией оперения по предлагаемой к разработке КСС с учетом внешних нагрузок.

Построить в абсолютных величинах эпюры распределенной по размаху оперения погонной воздушной нагрузки $Q_{\text{возд}}$, перерезывающей силы Q и изгибающего момента $M_{\text{изг}}$ с учетом опирания на фюзеляж.

На основании принятой КСС и эпюры Q построить эпюру крутящего момента $M_{\text{кр}}$, считая, что линия центров давления расположена на 25% текущей хорды, и определить шарнирный момент относительно оси вращения ЦПО.

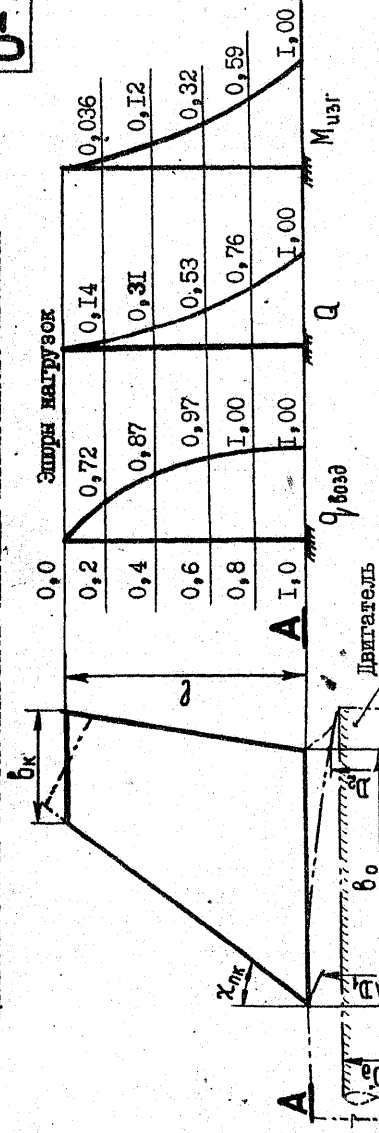
Произвести проектировочный расчет оперения на прочность в двух сечениях, рассчитать усиленные нервюры, ось вращения оперения с узлами заделки на фюзеляже и кронштейн тяги управления.

При разработке конструкции оперения показать увязку оси вращения с силовыми элементами фюзеляжа.

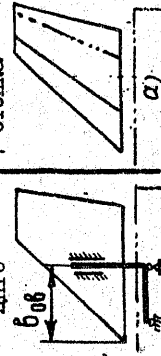
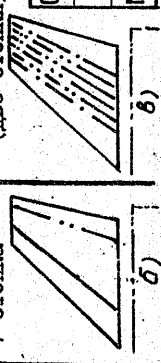


ЦЕЛЬНОБОРТОЕ ГОРИЗОНТАЛЬНОЕ ОПЕРЕДЬЕ МАНЕВРЕННОГО САМОЛЕТА

0-2



Величины нагрузок в сечении А-А

Схема заделки
оси вращения
ЦШОВарианты конструктивно-силовых схем
лонжерона
+ стенкаВарианты конструктивно-силовых схем
лонжерона
+ стенка
(две стенки)

Вариант

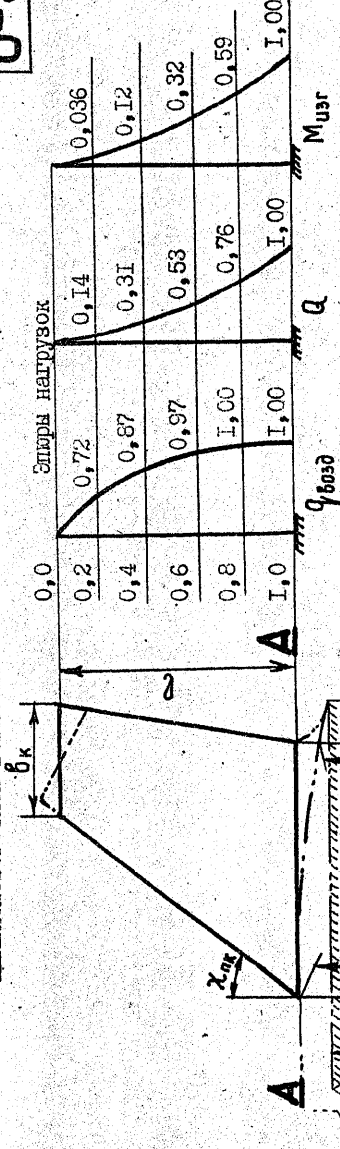
Вариант	1	2	3
$Q_{\text{вост}}, \text{ даН/м}$	4720	4250	4060
$Q, \text{ даН}$	12000	7200	8600
$M_{\text{вост}}, \text{ даН}\cdot\text{м}$	15850	6340	9460

Основные параметры самолета и разрабатываемого агрегата

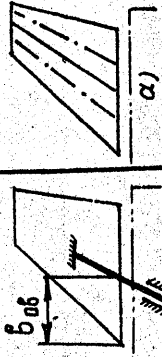
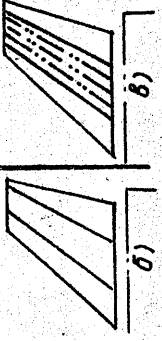
Вариант	M_{max}/H	$m_{\text{н.т}}$	$P_{\text{н.т}}$	$S_{\text{кр}}$	$\chi_{\text{нк}}$	$l, \text{ м}$	$b_0, \text{ м}$	$b_k, \text{ м}$	$b_{\text{вост}}, \%$	$\delta_{\text{вост}}$	Про- филь	ψ	$\alpha, \text{ град}$	$D_1, \text{ м}$	$D_2, \text{ м}$	Дав
1	2,35/15	25	12	60	55	3,0	3,2	0,80	60	± 25	0006	-1	0	1,01	0,01	0,8
2	2,20/11	15	12	40	40	2,0	2,5	0,65	45	± 25	0006	-2	0	0,80	0,80	0,6
3	2,50/12	18	12	55	50	2,5	3,2	1,00	50	± 25	0006	0	0	1,00	0,80	0,7

ЦЕЛЬНОБОРТОЕ ГОРИЗОНТАЛЬНОЕ ОПЕРЕДЬЕ МАНЕВРЕННОГО САМОЛЕТА

0-3



Величины нагрузок в сечении А-А

Схема заделки
оси вращения
ЦШОВарианты конструктивно-силовых схем
лонжерона + две
стенкиВарианты конструктивно-силовых схем
лонжерона + две
стенки

Вариант

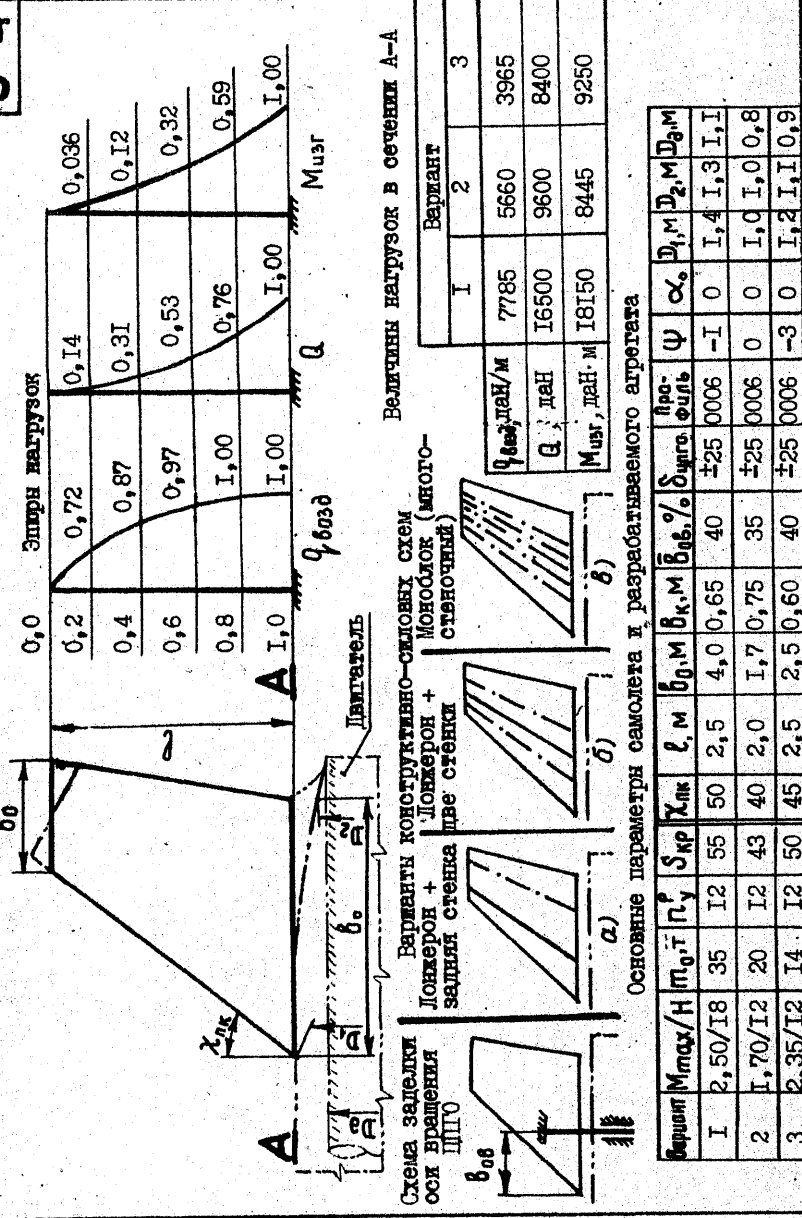
Вариант	1	2	3
$Q_{\text{вост}}, \text{ даН/м}$	2995	3540	4085
$Q, \text{ даН}$	3300	6000	4500
$M_{\text{вост}}, \text{ даН}\cdot\text{м}$	1890	5280	2575

Основные параметры самолета и разрабатываемого агрегата

Вариант	M_{max}/H	$m_{\text{н.т}}$	$P_{\text{н.т}}$	$S_{\text{кр}}$	$\chi_{\text{нк}}$	$l, \text{ м}$	$b_0, \text{ м}$	$b_k, \text{ м}$	$b_{\text{вост}}, \%$	$\delta_{\text{вост}}$	Про- филь	ψ	$\alpha, \text{ град}$	$D_1, \text{ м}$	$D_2, \text{ м}$	Дав
1	2,00/12	5,5	12	17	45	1,3	1,4	0,4	40	± 25	0006	0	0	0,9	0,8	0,6
2	1,35/12	10	12	32	41	2,0	1,9	0,5	35	± 25	0006	+3	0	1,3	1,2	1,0
3	2,10/12	7,5	12	23	55	1,3	1,7	0,7	40	± 25	0006	0	0	1,1	1,0	0,8

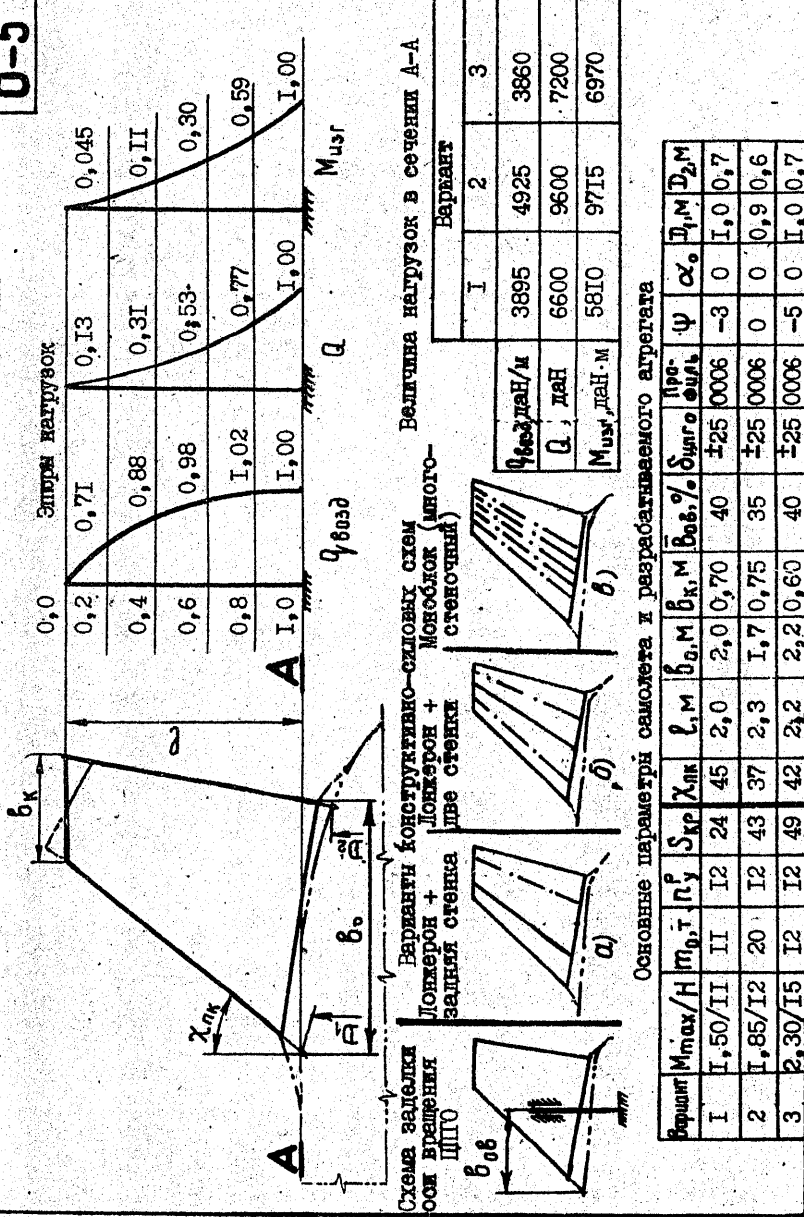
ЦЕЛЬНОВОРОТНОЕ ГОРИЗОНТАЛЬНОЕ ОПЕРЕДИЕ МАНЕВРЕННОГО САМОЛЕТА

0-4



ЦЕЛЬНОВОРОТНОЕ ГОРИЗОНТАЛЬНОЕ ОПЕРЕДИЕ МАНЕВРЕННОГО САМОЛЕТА

0-5



ЗАДАНИЯ
НА РАЗРАБОТКУ КОНСТРУКЦИИ ОТСЕКА ФЮЗЕЛЯЖА

Разработать конструкцию отсека фюзеляжа в соответствии с номером-шифром задания Ф-1-2.

КСС отсека фюзеляжа (количество и расположение стрингеров, лонжеронов, силовых и несилловых шпангоутов) формировать в соответствии с геометрией отсека с учетом крепления к отсеку агрегатов (крыла, оперения, двигателя и т.д.), вырезов в отсеке и нагрузок, действующих на отсек.

Построить в абсолютных величинах эпюры внешних нагрузок: перерезывающей силы Q_y и изгибающего момента M_z в вертикальной плоскости; перерезывающей силы Q_z и изгибающего момента M_y в горизонтальной плоскости; крутящего момента $M_{кр}$.

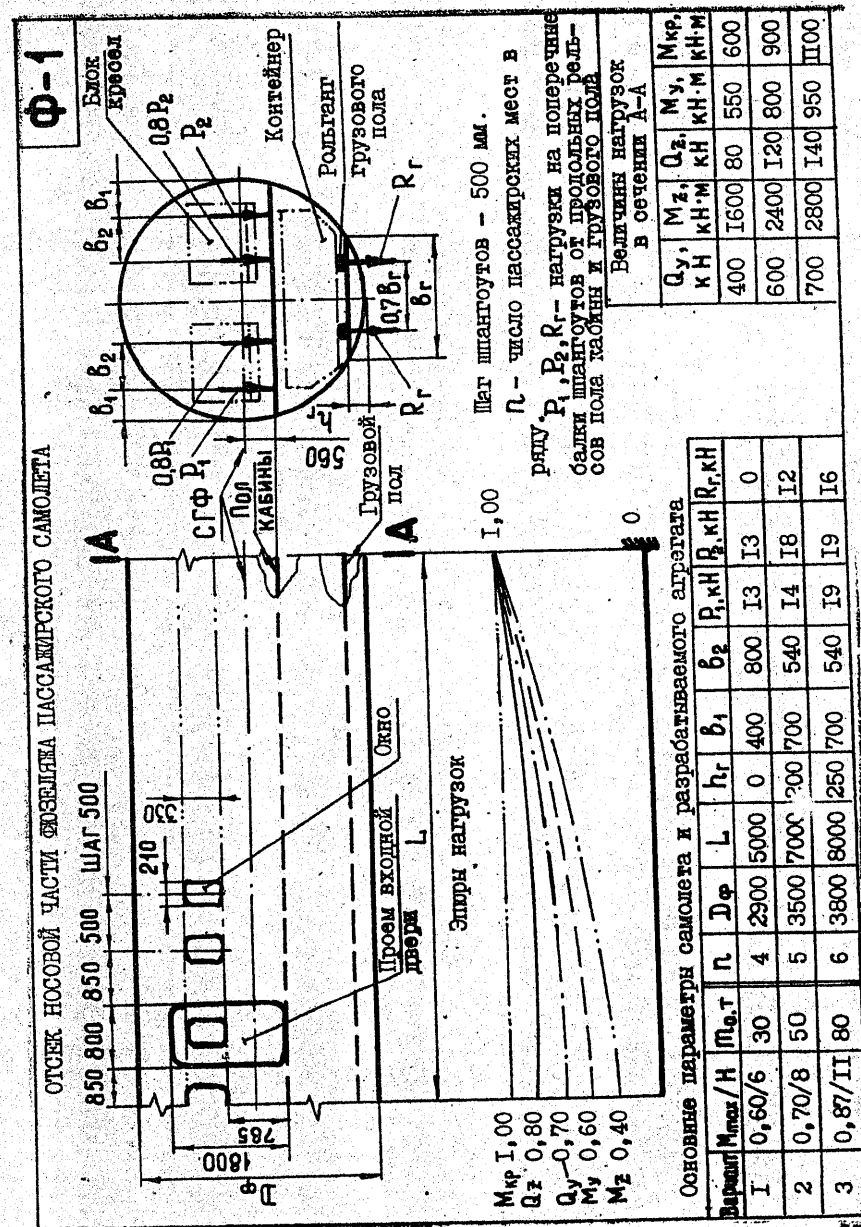
Относительные эпюры внешних нагрузок по длине отсека фюзеляжа даны без учета нагружения фюзеляжа в зоне разрабатываемого отсека сосредоточенными нагрузками. Поэтому необходимо достроить эпюры в случае, если к отсеку приложены сосредоточенные силы от агрегатов или полезной нагрузки.

Расчетное избыточное давление в герметичных отсеках фюзеляжа: $p^p = 1,2$ кПа - для обшивки фюзеляжа; $p^g = 1,4$ кПа - для гермоднищ, конструкции дверей, люков аварийного покидания и окон. Эксплуатационное избыточное давление $p^3 = 0,57$ кПа.

Произвести проектировочный расчет отсека фюзеляжа на прочность в двух сечениях, рассчитать узлы крепления агрегатов и усиленный шпангоут.

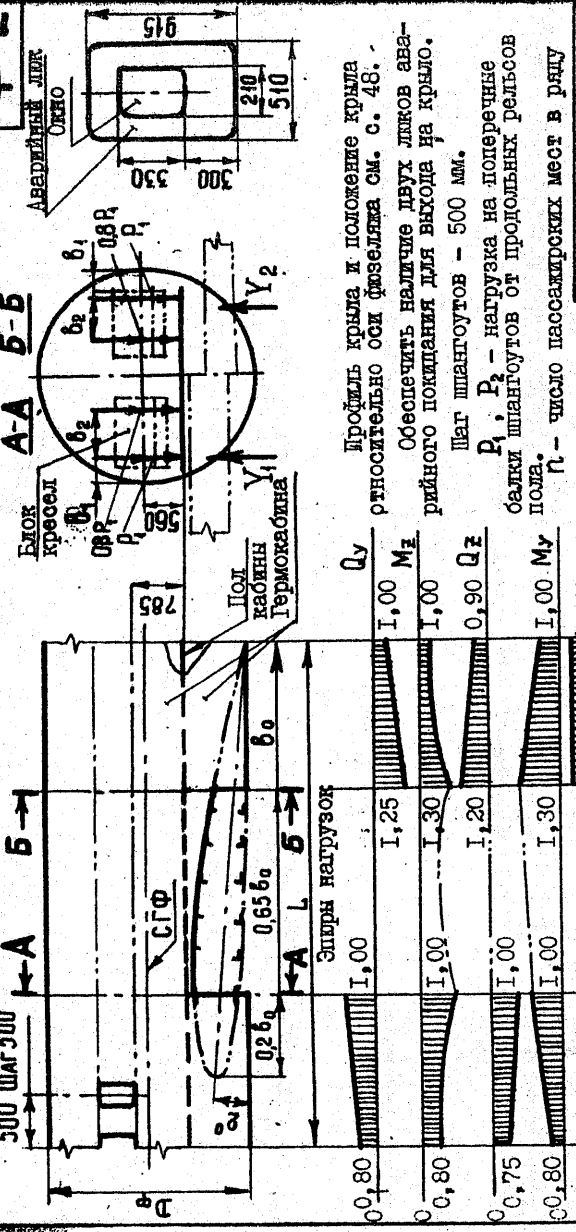
При разработке конструкции герметичного отсека фюзеляжа указать на чертеже схемы герметизации.

Конструкцию окон кабины, входных дверей и люков рекомендуется заимствовать у аналогичных самолетов.



Ф-2

ОТСЕК ЦЕНТРАЛЬНОЙ ЧАСТИ ФОЗЕЛЯЖА ПАССАЖИРСКОГО САМОЛЕТА



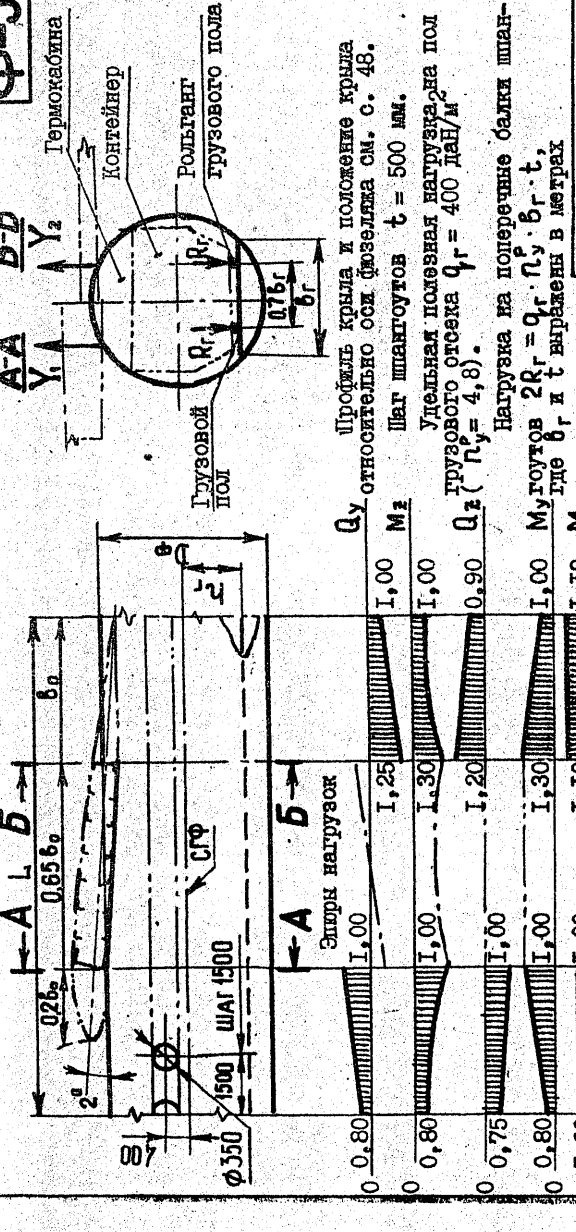
Вариант	M _{max} /H	n	D φ	L, м	b ₁	b ₂	b ₀	Основные параметры самолета и разрабатываемого агрегата					
								У ₁ , кН	У ₂ , кН	Р ₁ , кН			
1	0,70/8	30	4	2900	6,0	400	800	5000	2312	270	338	13	13
2	0,80/10	50	5	3500	9,0	700	540	6800	2312	380	470	14	18
3	0,87/11	80	6	3800	12,0	700	540	7600	2312	440	550	19	19

Величины нагрузок в сечении А-А		
Q _y , кН	M _z , кН·м	Q _z , кН
500	1800	100
700	2600	140
800	3000	160
1000	4000	200

Профиль крыла и положение крыла относительно оси фюзеляжа см. с. 48. Обеспечить наличие двух локот авиарейного покрывала для выхода на крыло. Шаг шпангоутов - 500 мм. Р₁, Р₂ - нагрузка на поперечные балки шпангоутов от продольных ремесов пола. П - число пассажирских мест в ряду.

Ф-3

ОТСЕК ЦЕНТРАЛЬНОЙ ЧАСТИ ФОЗЕЛЯЖА ТРАНСПОРТНОГО САМОЛЕТА

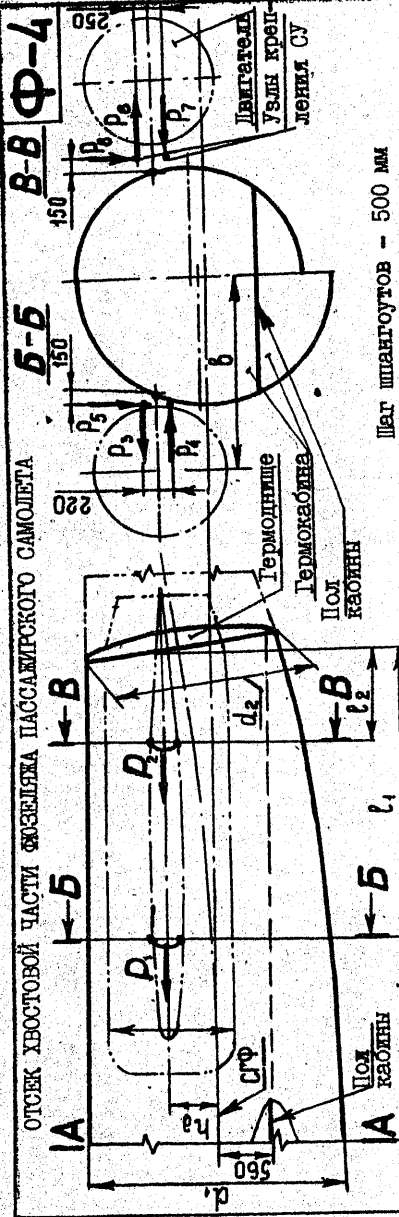


Вариант	M _{max} /H	n	D φ	L, м	h _г	b ₀	Основные параметры самолета и разрабатываемого агрегата		
							У ₁ , кН	У ₂ , кН	Р ₁ , кН
1	0,60/8	35	2900	7,0	850	5200	2312	330	350
2	0,70/8	60	4100	10,0	1225	7000	2312	390	490
3	0,80/10	150	5000	15,0	1500	9000	2312	800	1000

Величины нагрузок в сечении А-А		
Q _y , кН	M _z , кН·м	Q _z , кН
550	1850	100
750	2700	150
1500	6000	300

Профиль крыла и положение крыла относительно оси фюзеляжа см. с. 48. Шаг шпангоутов t = 500 мм. Удельная поперечная нагрузка на пол грузового отсека Q_г = 400 даН/м². Нагрузка на поперечные балки шпангоутов 2R_г = Q_г · b_г · t, где b_г и t выражены в метрах.

ОТСЕК ХВОСТОВОЙ ЧАСТИ Фюзеляжа Пассажирского Самолета



Шаг шпангоутов - 500 мм

Нагрузки от двигателя, кН

Версия	P ₁	P ₂	P ₃	P ₄	P ₅	P ₆	P ₇	P ₈
I	13	13	100	120	11	140	110	40
2	30	30	210	250	25	320	260	110
3	60	60	420	500	50	640	520	220

Величины нагрузок в сечении А-А

Q _y , кН	M _z , кН·м	Q _x , кН	M _y , кН·м	M _{кр} , кН·м
120	700	20	350	300
250	1500	50	800	750
480	3000	90	1600	1500

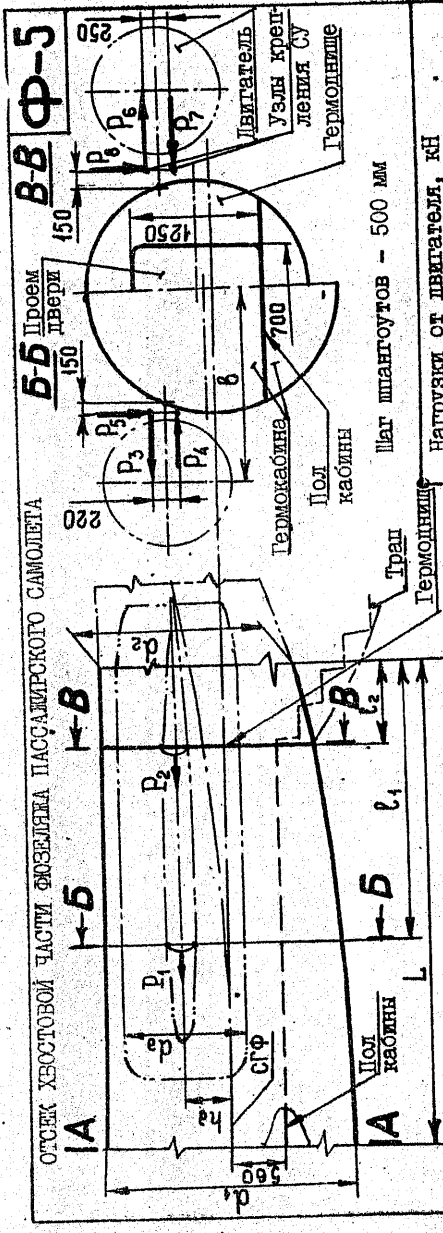
Эпюры нагрузок



Основные параметры самолета и разрабатываемого агрегата

Версия	M _{max} /H	M ₀ , т	d ₁	d ₂	L	l ₁	l ₂	d ₃	h ₃	б
I	0,70/8	20	2400	1900	4000	2500	1000	1200	300	1850
2	0,85/10	44	2900	2000	5000	3500	1500	1400	600	2200
3	0,87/11	80	3800	2850	5500	3500	1500	1600	600	2750

ОТСЕК ХВОСТОВОЙ ЧАСТИ Фюзеляжа Пассажирского Самолета



Шаг шпангоутов - 500 мм

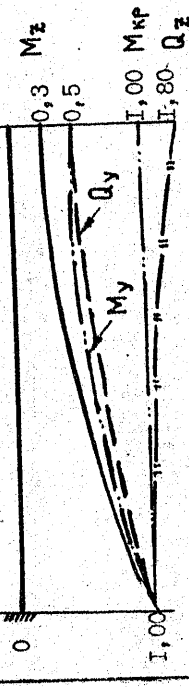
Нагрузки от двигателя, кН

Версия	P ₁	P ₂	P ₃	P ₄	P ₅	P ₆	P ₇	P ₈
I	12	12	120	140	12	145	115	50
2	25	25	220	260	28	330	250	120
3	55	55	430	550	55	620	500	210

Величины нагрузок в сечении А-А

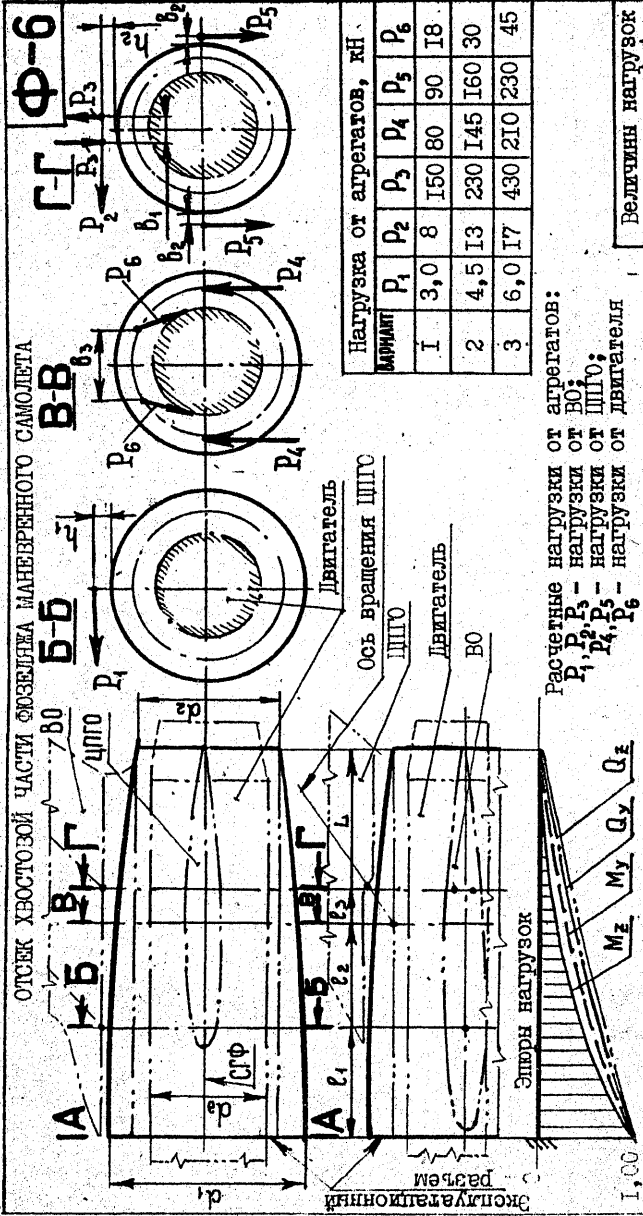
Q _y , кН	M _z , кН·м	Q _x , кН	M _y , кН·м	M _{кр} , кН·м
200	1000	25	400	350
260	1550	55	900	800
460	2600	80	1500	1400

Эпюры нагрузок



Основные параметры самолета и разрабатываемого агрегата

Версия	M _{max} /H	M ₀ , т	d ₁	d ₂	L	l ₁	l ₂	d ₃	h ₃	б
I	0,60/7	44	2900	2000	5500	3500	500	1400	400	2210
2	0,70/9	70	3500	2700	6000	4000	1000	1500	500	2560
3	0,85/11	90	3900	2900	6000	4000	1500	1600	600	2810



Нагрузка от агрегатов, кН

ВАРИАНТ	P ₁	P ₂	P ₃	P ₄	P ₅	P ₆
1	3,0	8	150	80	90	18
2	4,5	13	230	145	160	30
3	6,0	17	430	210	230	45

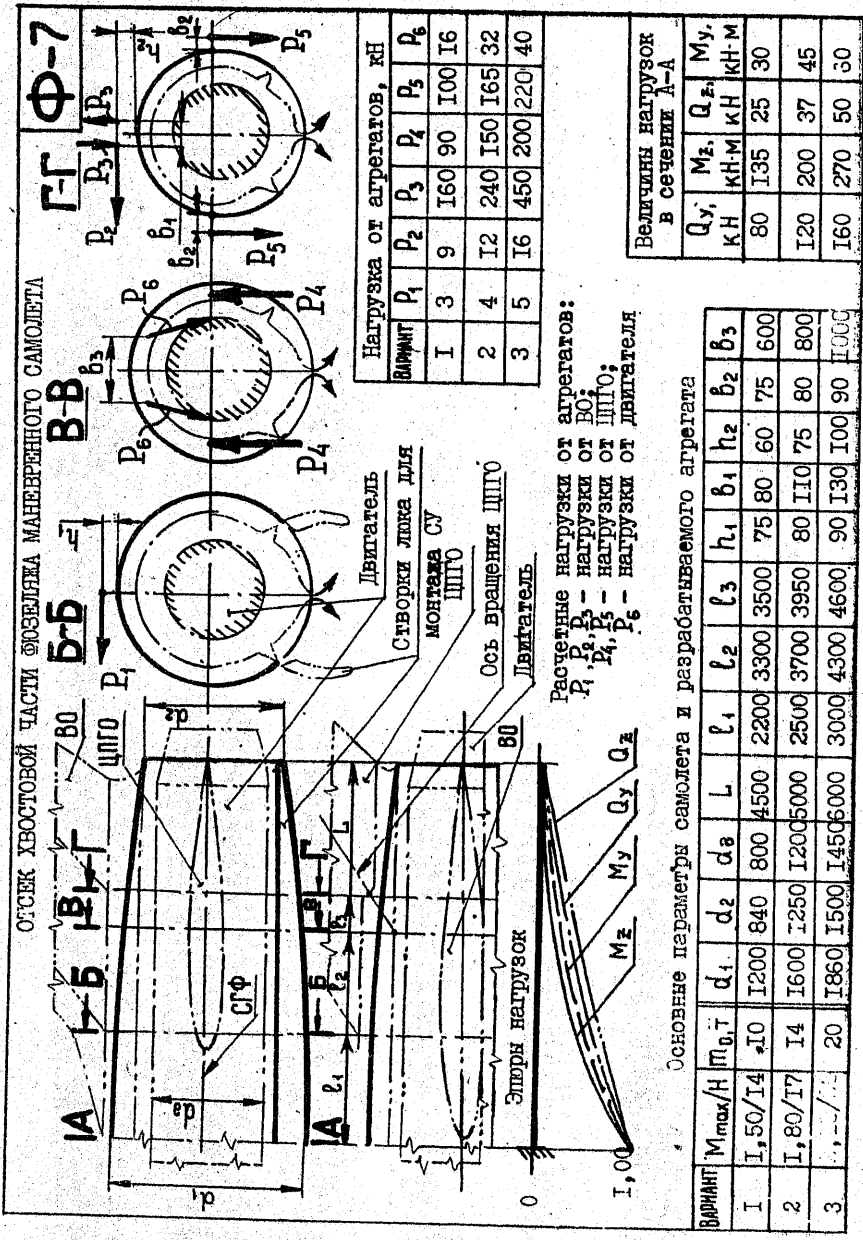
Расчетные нагрузки от агрегатов:
 P₁, P₂, P₃ - нагрузки от ВО;
 P₄, P₅, P₆ - нагрузки от двигателя

Величины нагрузок в сечении А-А

Q _y , кН	M _z , кН·м	Q _z , кН	M _y , кН·м
75	125	20	25
115	190	30	37
150	250	40	50

Основные параметры самолета и разрабатываемого агрегата

ВАРИАНТ	M _{max} /H	Π _{0,7}	d ₁	d ₂	d ₃	L	l ₁	l ₂	l ₃	h ₁	h ₂	h ₃	b ₁	b ₂	b ₃
1	1,70/19	9	1100	800	770	3500	1200	2300	2550	50	75	60	70	500	500
2	2,00/19	13	1500	1300	1230	4000	1500	2700	3000	80	100	70	80	700	700
3	2,20/21	18	1750	1450	1400	4500	1500	2800	3150	100	120	90	100	900	900



Нагрузка от агрегатов, кН

ВАРИАНТ	P ₁	P ₂	P ₃	P ₄	P ₅	P ₆
1	3	9	160	90	100	16
2	4	12	240	150	165	32
3	5	16	450	200	220	40

Расчетные нагрузки от агрегатов:
 P₁, P₂, P₃ - нагрузки от ВО;
 P₄, P₅, P₆ - нагрузки от двигателя

Величины нагрузок в сечении А-А

Q _y , кН	M _z , кН·м	Q _z , кН	M _y , кН·м
80	135	25	30
120	200	37	45
160	270	50	60

Основные параметры самолета и разрабатываемого агрегата

ВАРИАНТ	M _{max} /H	Π _{0,7}	d ₁	d ₂	d ₃	L	l ₁	l ₂	l ₃	h ₁	h ₂	h ₃	b ₁	b ₂	b ₃
1	1,50/14	10	1200	840	800	4500	2200	3300	3500	75	80	60	75	600	600
2	1,80/17	14	1600	1250	1200	5000	2500	3700	3950	80	110	75	80	800	800
3	2,00/20	20	1860	1500	1450	6000	3000	4300	4600	90	130	100	90	1000	1000

ЗАДАНИЯ НА РАЗРАБОТКУ КОНСТРУКЦИИ МОТОГОНДОЛЫ

Разработать конструкцию мотогондолы (и пилона, где это указано) в соответствии с номером-шифром задания М-1-2-а-б, где а, б - варианты схем установки двигателя в сечениях Б-Б и В-В соответственно.

Геометрию мотогондолы, двигателя и профилей крыла строить исходя из масштабных соотношений чертежа задания. Определяющим размером является диаметр фланца $d_{фл}$ двигателя.

КСС мотогондолы (количество и расположение стрингеров, продольных балок, нормальных и усиленных шпангоутов) формировать в соответствии с геометрией мотогондолы с учетом крепления мотогондолы к конструкции самолета, предлагаемого варианта схемы установки двигателя, аэродинамических нагрузок на воздухозаборник и мотогондолу и инерционных нагрузок на двигатель.

Аэродинамические нагрузки на воздухозаборник и гондолу определены на основании продувок.

Расчетные инерционные нагрузки, представленные в задании, определены следующим образом:

$$P_x^p = P_0 \cdot f; \quad P_y^p = G_{ав} \cdot K_{су} \cdot n_y; \quad P_z^p = G_{ав} \cdot K_{су} \cdot n_z;$$

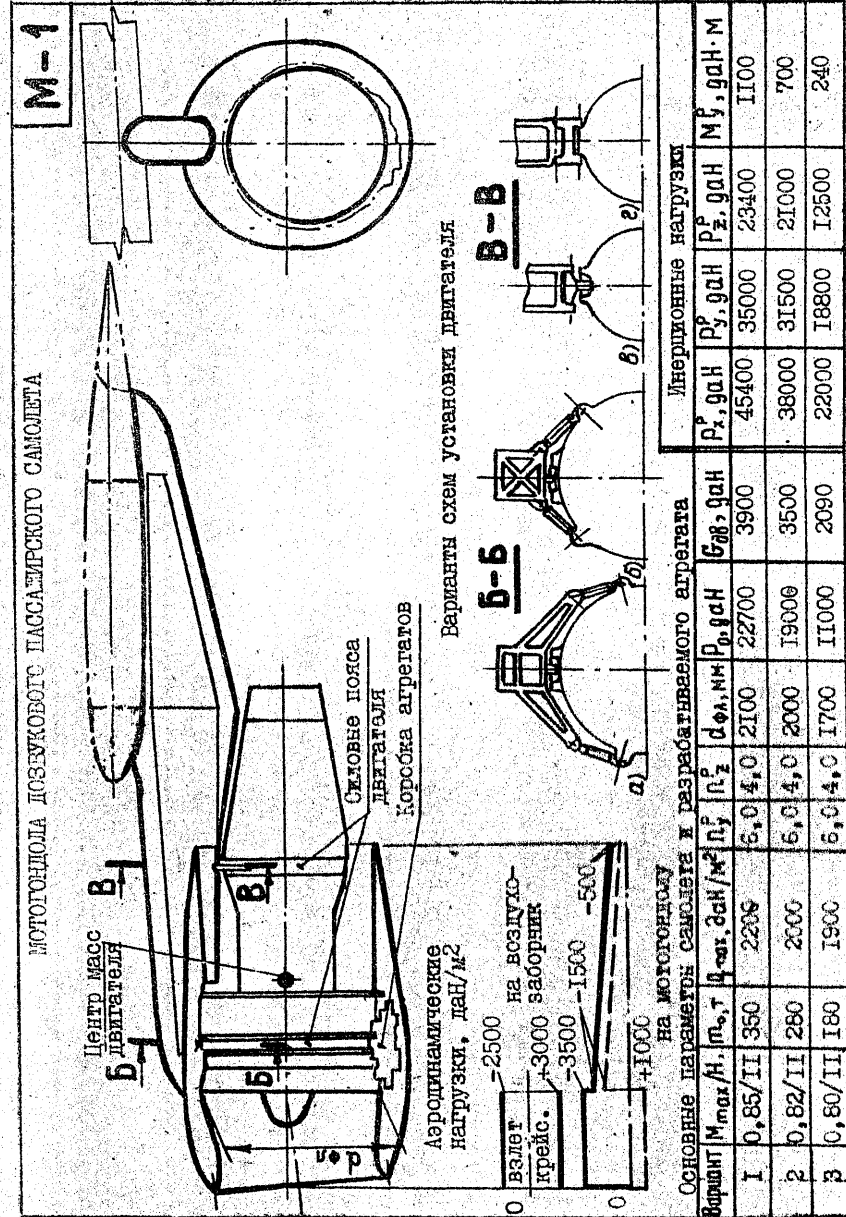
$$M_y^p = M_{ч} \text{ гироскопич.} \cdot f = \omega_{z c-tA} \cdot (\sum J_{\text{ротора}} \cdot \omega_{\text{ротора}}) \cdot f.$$

В расчете приняты $K_{су} = 1,5; \quad f = 2.$

Элементы подвески двигателя рассчитывать на инерционные нагрузки, определенные без коэффициента $K_{су}$. Конструкцию узлов подвески, установленных на двигателе, согласовать с консультантом. Конструкцию несильных элементов мотогондол (капотов и воздухозаборников) рассчитывать только на аэродинамические нагрузки. Пилон и узлы крепления мотогондолы к крылу или фюзеляжу рассчитывать на суммарные нагрузки (аэродинамические + инерционные с учетом $K_{су}$).

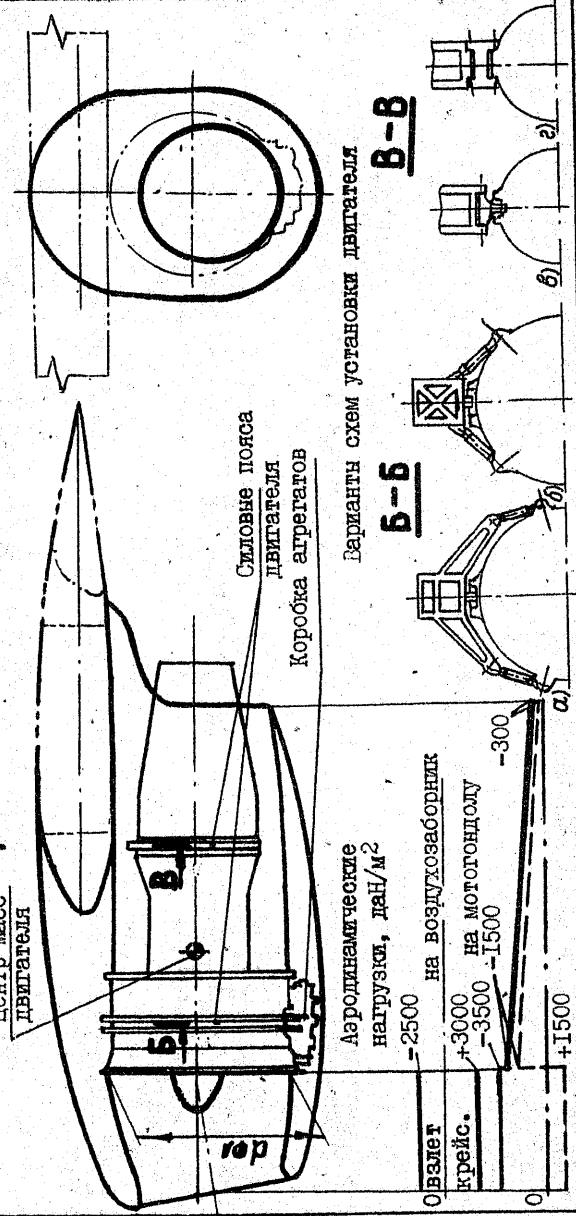
Построить эпюры нагрузок на мотогондолу (и пилон). Провести проекторочный расчет мотогондолы (и пилона) на прочность в двух сечениях, рассчитать стыковые узлы крепления двигателя и мотогондолы (пилона), рассчитать на прочность усиленный шпангоут мотогондолы.

При разработке конструкции мотогондолы учесть осевые и радиальные деформации двигателя при нагреве и обеспечить возможность доступа к двигателю и коробке агрегатов для ремонта и обслуживания, возможность быстрой замены двигателя, возможность модификации самолета путем замены двигателя, наличие противопожарных перегородок.



М-2

МОТОГОНДОЛА ДОЗУКОВОГО ПАССАЖИРСКОГО САМОЛЕТА

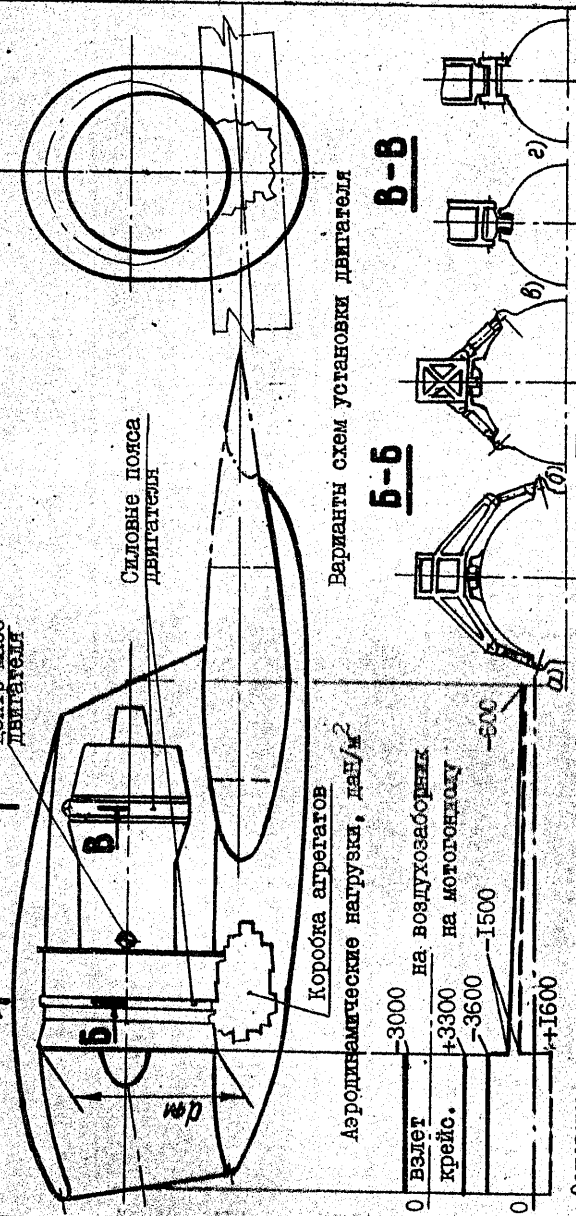


Основные параметры самолета и разрабатываемого агрегата

Вариант	M _{max} /H	m, т	Q _{max} , даН/м ²	n _z	n _z	D, м	P ₀ , гаН	C _{дв} , гаН	Инерционные нагрузки			
									P _z , гаН	P _z , гаН	P _z , гаН	
1	0,85/II	350	2200	6,0	4,0	2100	22700	3900	45400	35000	23400	1100
2	0,82/II	280	2000	6,0	4,0	2000	19000	3500	38000	31500	21000	700
3	0,80/II	180	1900	6,0	4,0	1700	11000	2090	22000	18800	12500	240

М-3

МОТОГОНДОЛА ДОЗУКОВОГО ПАССАЖИРСКОГО САМОЛЕТА

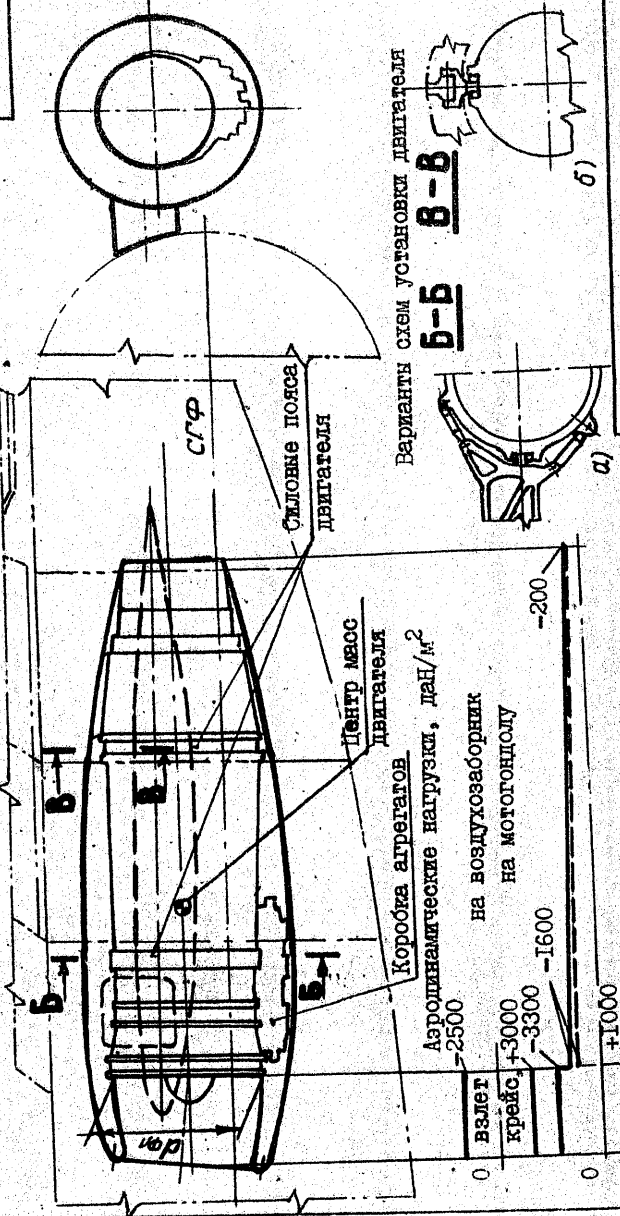


Основные параметры самолета и разрабатываемого агрегата

Вариант	M _{max} /H	m, т	Q _{max} , даН/м ²	n _z	n _z	D, м	P ₀ , гаН	C _{дв} , гаН	Инерционные нагрузки			
									P _z , гаН	P _z , гаН	P _z , гаН	
1	0,85/II	350	2200	6,0	4,0	2100	22700	3900	45400	35000	23400	1100
2	0,82/II	280	2000	6,0	4,0	2000	19000	3500	38000	31500	21000	700
3	0,80/II	180	1900	6,0	4,0	1700	11000	2090	22000	18800	12500	240

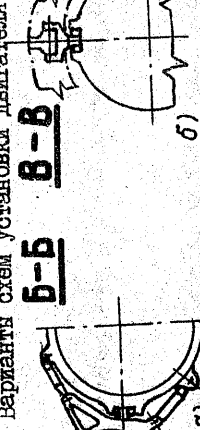
M-4

МОТОЦИКЛА ДВУХКОЛОВОГО ПАССАЖИРСКОГО САМОЛЕТА



Вариант	Мmax/Н	М, т	Qmax, гон/м²	Pз, гон	Pд, мм	P, гон	Gвв, гон	Инерционные нагрузки			
								Pу, гон	Pу, гон	Mу, гон·м	
1	0,85/II	70	2200	6,0	2,0	1560	2400	23000	21500	7200	260
2	0,82/IO	42	2000	6,0	2,0	1050	1500	13600	13500	4500	90
3	0,80/IO	32	1850	6,0	2,0	950	1200	10600	10800	3600	70

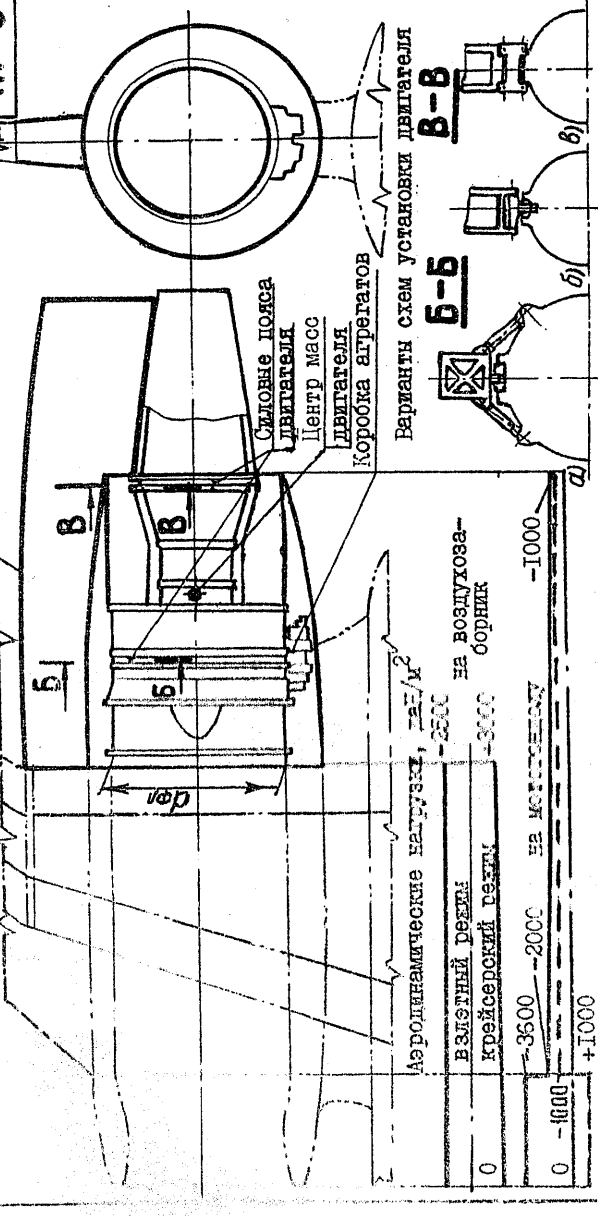
Основные параметры самолета и разрабатываемого агрегата



Варианты схем установки двигателя

M-5

МОТОЦИКЛА ДВУХКОЛОВОГО ПАССАЖИРСКОГО САМОЛЕТА



Вариант	Mmax/Н	M, т	Qmax, гон/м²	Pз, гон	Pд, мм	P, гон	Gвв, гон	Инерционные нагрузки				
								Pу, гон	Pу, гон	Mу, гон·м		
1	0,85/II	220	2200	6,0	2,0	2100	22700	39000	45400	35000	11700	1100
2	0,82/II	180	2000	6,0	2,0	2000	19000	3500	38000	31500	10500	700
3	0,80/II	155	1850	6,0	2,0	1900	11000	2090	22000	18800	6250	240

Основные параметры самолета и разрабатываемого агрегата

Аэродинамические нагрузки, дин/м²	на воздухозаборник
0	-2500
0	-3000
0	-3600
0	-2000
0	-1000
0	+1000

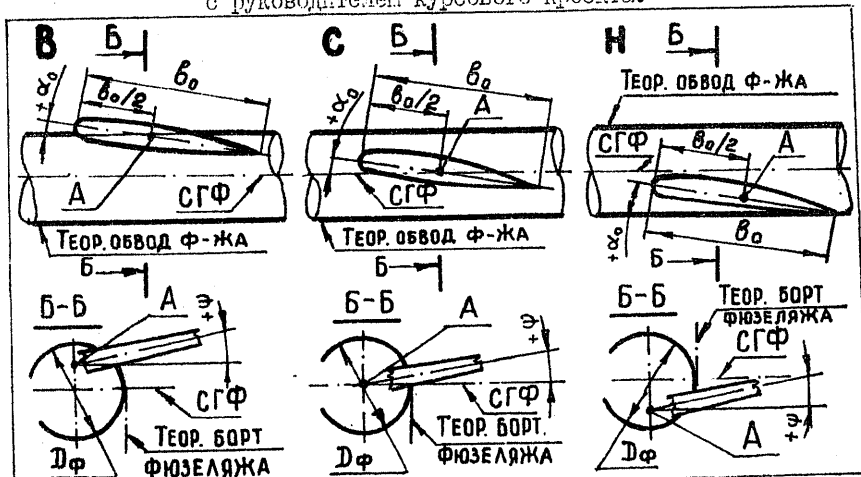
Приложение I
ФОРМА ПРОФИЛЯ НЕСУЩЕЙ ПОВЕРХНОСТИ (в % от хорды)

№ профиля	\bar{x}	0	2,5	10	15	20	30	40	50	70	100	
Несимметричные	Профиль 2312	$\bar{y}_в$	0	3,11	5,86	6,89	7,54	8,00	7,77	7,14	5,02	0
		$\bar{y}_н$	0	2,16	3,52	3,82	3,94	4,00	3,84	3,45	2,31	0
	Профиль 2310	$\bar{y}_в$	0	2,59	4,88	5,73	6,28	6,67	6,48	5,95	4,18	0
		$\bar{y}_н$	0	1,80	2,93	3,18	3,28	3,33	3,20	2,88	1,93	0
	Профиль 2308	$\bar{y}_в$	0	2,07	3,91	4,59	5,03	5,33	5,18	4,76	3,35	0
		$\bar{y}_н$	0	1,44	2,35	2,55	2,63	2,67	2,56	2,30	1,54	0
№ профиля	\bar{x}	0	2,5	10	15	20	30	40	50	70	100	
Симметричные	Профиль 0012	$\bar{y}_в = \bar{y}_н$	0	2,62	4,68	5,34	5,74	6,00	5,80	5,28	3,66	0
		$\bar{y}_в = \bar{y}_н$	0	2,18	3,90	4,46	4,78	5,00	4,84	4,40	3,05	0
	Профиль 0010	$\bar{y}_в = \bar{y}_н$	0	1,96	3,51	4,01	4,30	4,50	4,35	3,96	2,75	0
		$\bar{y}_в = \bar{y}_н$	0	1,74	3,12	3,56	3,82	4,00	3,87	3,52	2,44	0
	Профиль 0009	$\bar{y}_в = \bar{y}_н$	0	1,96	3,51	4,01	4,30	4,50	4,35	3,96	2,75	0
		$\bar{y}_в = \bar{y}_н$	0	1,74	3,12	3,56	3,82	4,00	3,87	3,52	2,44	0
Профиль 0008	$\bar{y}_в = \bar{y}_н$	0	1,74	3,12	3,56	3,82	4,00	3,87	3,52	2,44	0	
	$\bar{y}_в = \bar{y}_н$	0	1,74	3,12	3,56	3,82	4,00	3,87	3,52	2,44	0	
Профиль 0006	$\bar{y}_в = \bar{y}_н$	0	1,31	2,34	2,67	2,87	3,00	2,90	2,64	1,83	0	
	$\bar{y}_в = \bar{y}_н$	0	0,87	1,56	1,78	1,91	2,00	1,94	1,76	1,22	0	
Профиль 0004	$\bar{y}_в = \bar{y}_н$	0	0,87	1,56	1,78	1,91	2,00	1,94	1,76	1,22	0	
	$\bar{y}_в = \bar{y}_н$	0	0,87	1,56	1,78	1,91	2,00	1,94	1,76	1,22	0	

Приложение 2

РАСПОЛОЖЕНИЕ НЕСУЩИХ ПОВЕРХНОСТЕЙ ПО ВЫСОТЕ Фюзеляжа

Внимание! Теоретический обвод фюзеляжа согласовать с руководителем курсового проекта.



Приложение 3

ВАРИАНТЫ И НОМЕРА-ШИФРЫ
ЗАДАНИЙ НА РАЗРАБОТКУ КОНСТРУКЦИИ АГРЕГАТА

Вар.	Номер-шифр	Вар.	Номер-шифр	Вар.	Номер-шифр	Вар.	Номер-шифр	Вар.	Номер-шифр
Консоль (отъемная часть) крыла									
I	K-I-I-a-H	I2	K-2-I-б-В	23	K-3-I-в-Н	34	K-4-I-г-Н	45	K-5-I-a-B
2	K-I-I-б-В	I3	K-2-I-в-Н	24	K-3-I-г-В	35	K-4-I-в-В	46	K-5-I-б-Н
3	K-I-I-в-В	I4	K-2-I-г-В	25	K-3-2-a-Н	36	K-4-I-г-Н	47	K-5-I-в-В
4	K-I-I-г-В	I5	K-2-2-б-Н	26	K-3-2-б-В	37	K-4-2-a-В	48	K-5-I-г-Н
5	K-I-2-a-Н	I6	K-2-2-в-В	27	K-3-2-в-Н	38	K-4-2-б-Н	49	K-5-2-a-В
6	K-I-2-б-Н	I7	K-2-2-г-Н	28	K-3-2-г-В	39	K-4-2-в-В	50	K-5-2-б-Н
7	K-I-2-в-В	I8	K-2-3-б-Н	29	K-3-3-a-Н	40	K-4-2-г-Н	51	K-5-2-в-В
8	K-I-2-г-В	I9	K-2-3-в-В	30	K-3-3-б-В	41	K-4-3-a-В	52	K-5-2-г-Н
9	K-I-3-в-Н	20	K-2-3-г-Н	31	K-3-3-в-Н	42	K-4-3-б-Н	53	K-5-3-б-Н
10	K-I-3-г-В	21	K-3-I-a-Н	32	K-3-3-г-В	43	K-4-3-в-В	54	K-5-3-в-В
11	K-2-I-a-Н	22	K-3-I-б-В	33	K-4-I-a-В	44	K-4-3-г-Н	55	K-5-3-г-Н
Центроплан									
I	Ц-I-I-a-В	10	Ц-I-3-б-Н	19	Ц-2-2-в-В	28	Ц-3-I-г-В	37	Ц-4-I-a-Н
2	Ц-I-I-б-Н	11	Ц-I-3-в-В	20	Ц-2-2-г-Н	29	Ц-3-2-a-Н	38	Ц-4-I-б-В
3	Ц-I-I-в-В	12	Ц-I-3-г-Н	21	Ц-2-3-a-В	30	Ц-3-2-б-В	39	Ц-4-I-в-Н
4	Ц-I-I-г-Н	13	Ц-2-I-a-В	22	Ц-2-3-б-Н	31	Ц-3-2-в-Н	40	Ц-4-2-a-В
5	Ц-I-2-a-В	14	Ц-2-I-б-Н	23	Ц-2-3-в-В	32	Ц-3-2-г-В	41	Ц-4-2-в-Н
6	Ц-I-2-б-Н	15	Ц-2-I-в-В	24	Ц-2-3-г-Н	33	Ц-3-3-a-Н	42	Ц-4-2-г-В
7	Ц-I-2-в-В	16	Ц-2-I-г-Н	25	Ц-3-I-a-Н	34	Ц-3-3-б-В	43	Ц-4-3-б-Н
8	Ц-I-2-г-Н	17	Ц-2-2-a-В	26	Ц-3-I-б-В	35	Ц-3-3-в-Н	44	Ц-4-3-в-В
9	Ц-I-3-a-В	18	Ц-2-2-б-Н	27	Ц-3-I-в-Н	36	Ц-3-3-г-В	45	Ц-4-3-г-Н
Горизонтальное оперение									
I	Г-I-I-a-В	I2	Г-2-I-б-Н	23	Г-3-I-б-С	34	Г-4-I-a	45	Г-4-г
2	Г-I-I-б-Н	I3	Г-2-I-в-С	24	Г-3-I-в-С	35	Г-4-I-б	46	Г-5-I-a-С
3	Г-I-I-в-С	I4	Г-2-I-г-В	25	Г-3-I-г-С	36	Г-4-I-в	47	Г-5-I-б-С
4	Г-I-I-г-В	I5	Г-2-2-б-В	26	Г-3-2-a-С	37	Г-4-I-г	48	Г-5-I-в-С
5	Г-I-2-б-В	I6	Г-2-2-в-Н	27	Г-3-2-б-С	38	Г-4-2-a	49	Г-5-I-г-С
6	Г-I-2-в-Н	I7	Г-2-2-г-С	28	Г-3-2-в-С	39	Г-4-2-б	50	Г-5-2-б-В
7	Г-I-2-г-С	I8	Г-2-3-a-С	29	Г-3-2-г-С	40	Г-4-2-в	51	Г-5-2-в-В
8	Г-I-3-б-С	I9	Г-2-3-б-Н	30	Г-3-3-a-С	41	Г-4-2-г	52	Г-5-2-г-В
9	Г-I-3-в-В	20	Г-2-3-в-В	31	Г-3-3-б-С	42	Г-4-3-a	53	Г-5-3-б-В
10	Г-I-3-г-Н	21	Г-2-3-г-С	32	Г-3-3-в-С	43	Г-4-3-б	54	Г-5-3-в-В
11	Г-2-I-a-В	22	Г-3-I-a-С	33	Г-3-3-г-С	44	Г-4-3-в	55	Г-5-3-г-В

Окончание

Вар.	Номер-шифр	Вар.	Номер-шифр	Вар.	Номер-шифр	Вар.	Номер-шифр
Вертикальное оперение							
1	В-1-1-а	10	В-1-3-б	19	В-2-2-в	28	В-3-2-а
2	В-1-1-б	11	В-1-3-в	20	В-2-2-г	29	В-3-2-б
3	В-1-1-в	12	В-1-3-г	21	В-2-3-а	30	В-3-2-в
4	В-1-1-г	13	В-2-1-а	22	В-2-3-б	31	В-3-3-а
5	В-1-2-а	14	В-2-1-б	23	В-2-3-в	32	В-3-3-б
6	В-1-2-б	15	В-2-1-в	24	В-2-3-г	33	В-3-3-в
7	В-1-2-в	16	В-2-1-г	25	В-3-1-а	34	В-4-1-а
8	В-1-2-г	17	В-2-2-а	26	В-3-1-б	35	В-4-1-б
9	В-1-3-а	18	В-2-2-б	27	В-3-1-в	36	В-4-1-в
Цельноповоротное горизонтальное оперение							
1	О-1-1-а-В	10	О-2-1-а-С	19	О-3-1-а-Н	28	О-4-1-а-З
2	О-1-1-б-С	11	О-2-1-б-Н	20	О-3-1-б-С	29	О-4-1-б-С
3	О-1-1-в-Н	12	О-2-1-в-С	21	О-3-1-в-Н	30	О-4-1-в-Н
4	О-1-2-а-С	13	О-2-2-а-Н	22	О-3-2-а-З	31	О-4-2-а-С
5	О-1-2-б-Н	14	О-2-2-б-З	23	О-3-2-б-Н	32	О-4-2-б-Н
6	О-1-2-в-З	15	О-2-2-в-Н	24	О-3-2-в-З	33	О-4-2-в-З
7	О-1-3-а-Н	16	О-2-3-а-З	25	О-3-2-а-С	34	О-4-3-а-Н
8	О-1-3-б-З	17	О-2-3-б-С	26	О-3-2-б-В	35	О-4-3-б-З
9	О-1-3-в-С	18	О-2-3-в-З	27	О-3-2-в-С	36	О-4-3-в-С
Отсек фюзеляжа							
1	Г-1-1	6	Г-3-3	11	Г-4-2	16	Г-6-1
2	Г-1-2	7	Г-3-1	12	Г-4-3	17	Г-6-2
3	Г-1-3	8	Г-3-2	13	Г-5-1	18	Г-6-3
4	Г-2-1	9	Г-3-3	14	Г-5-2	19	Г-7-1
5	Г-2-2	10	Г-4-1	15	Г-5-3	20	Г-7-2
Моторновода							
1	М-1-1-а-В	10	М-1-3-а-Г	19	М-2-3-б-В	28	М-3-1-б-Г
2	М-1-1-а-Г	11	М-1-3-б-В	20	М-2-3-б-Г	29	М-3-2-а-В
3	М-1-1-б-В	12	М-1-3-б-Г	21	М-2-3-а-В	30	М-3-2-а-Г
4	М-1-1-б-Г	13	М-1-3-а-В	22	М-2-3-а-Г	31	М-3-2-б-В
5	М-1-1-а-В	14	М-1-3-а-Г	23	М-2-3-б-В	32	М-3-2-б-Г
6	М-1-2-а-Г	15	М-1-3-б-В	24	М-2-3-б-Г	33	М-3-3-а-В
7	М-1-2-б-В	16	М-1-3-б-Г	25	М-2-3-а-В	34	М-3-3-а-Г
8	М-1-3-б-Г	17	М-1-2-а-В	26	М-2-3-а-Г	35	М-3-3-б-В
9	М-1-3-а-В	18	М-1-2-а-Г	27	М-2-3-б-В	36	М-3-3-б-Г

ЛИТЕРАТУРА

- Войт Е.С. Конструирование узлов и деталей самолета: Учебное пособие. - М.: МАИ, 1980.
- Войт Е.С. Конструирование агрегатов планера: Учебное пособие. - М.: МАИ, 1984.
- Волошин Ф.А., Попов Ю.И. Конструирование заклепочных и болтовых соединений: Учебное пособие. - М.: МАИ, 1983.
- Гиммельфарб А.Л. Основы конструирования в самолетостроении. - М.: Машиностроение, 1980.
- Глаголев А.Н., Гольдинов М.Я., Григоренко С.М. Конструкция самолетов. - М.: Машиностроение, 1975.
- Егер С.М. Проектирование пассажирских реактивных самолетов. - М.: Машиностроение, 1964.
- Ендогур А.И., Вайнберг М.В., Иерусалимский К.М. Сотовые конструкции. Выбор параметров и проектирование. - М.: Машиностроение, 1986.
- Зайцев В.Н., Рудakov В.Д. Конструкция и прочность самолетов. - Киев: Вища школа, 1978.
- Киселев В.А. Проектирование оптимальных конструкций: Учебное пособие. - М.: МАИ, 1984.
- Конструирование деталей: Учебное пособие к курсовому проектированию /Под ред. И.А.Шаталова. - М.: МАИ, 1985.
- Конструирование узлов: Учебное пособие к курсовому проектированию /Под ред. Ю.И.Попова. - М.: МАИ, 1985.
- Конструкция и прочность самолетов и вертолетов /Под ред. К.Д.Миртова и Ж.С.Черненко. - М.: Транспорт, 1972.
- Методические указания к лабораторно-практическим работам по курсу "Конструирование узлов и деталей самолетов" /Волошин Ф.А., Красоткин А.А., Лещин А.В., Попов Ю.И. - М.: МАИ, 1984.
- Назаров Г.Н., Красоткин А.А., Попов Ю.И. Методические разработки по курсовому проектированию "Конструирование агрегатов планера". - М.: МАИ, 1983.
- Сборник алгоритмов и программ для лабораторно-практических работ по курсу "Проектирование конструкций": Учебное пособие /Под ред. Ф.А.Волошина. - М.: МАИ, 1982.
- Шульженко М.Н. Конструкции самолетов, М.: Машиностроение, 1964.

ОГЛАВЛЕНИЕ

Предисловие	4
Общие положения	5
Задания на разработку конструкции консоли (отъемной части) крыла	7
Задания на разработку конструкции центроплана	13
Задания на разработку конструкции горизонтального и вертикального оперения	18
Задания на разработку конструкции цельноповоротного горизонтального оперения	28
Задания на разработку конструкции отсека фюзеляжа	34
Задания на разработку конструкции мотогондолы	42
Приложения	48
Литература	51

Тем. план 1987, поз.41

Валентин Владимирович Васильев
Аскольд Иванович Вндогур
Валентин Афанасьевич Киселев
Виктор Владимирович Мальчевский
Завен Ашотович Мелик-Саркисян
Александр Николаевич Степанов
Игорь Алексеевич Шаталов

УЧЕБНОЕ ПОСОБИЕ К КУРСОВОМУ ПРОЕКТИРОВАНИЮ
"АГРЕГАТЫ ПЛАНЕРА"

Редактор Е.Г. Ремнева

Техн. редактор А.Г. Мухина

Л 59782. Подписано к печати 29.04.87

Бум. типогр. № 2. Формат 60x84 1/16

Усл. печ. л. 3,25; уч.-изд. л. 3,00. Тираж 1000

Зак. 303/ 2019. Цена 20 к.

Ротапринт МАИ

125871, Москва, Волоколамское шоссе, 4